

# 永磁同步馬達電流迴路設計/驗證及功率量測

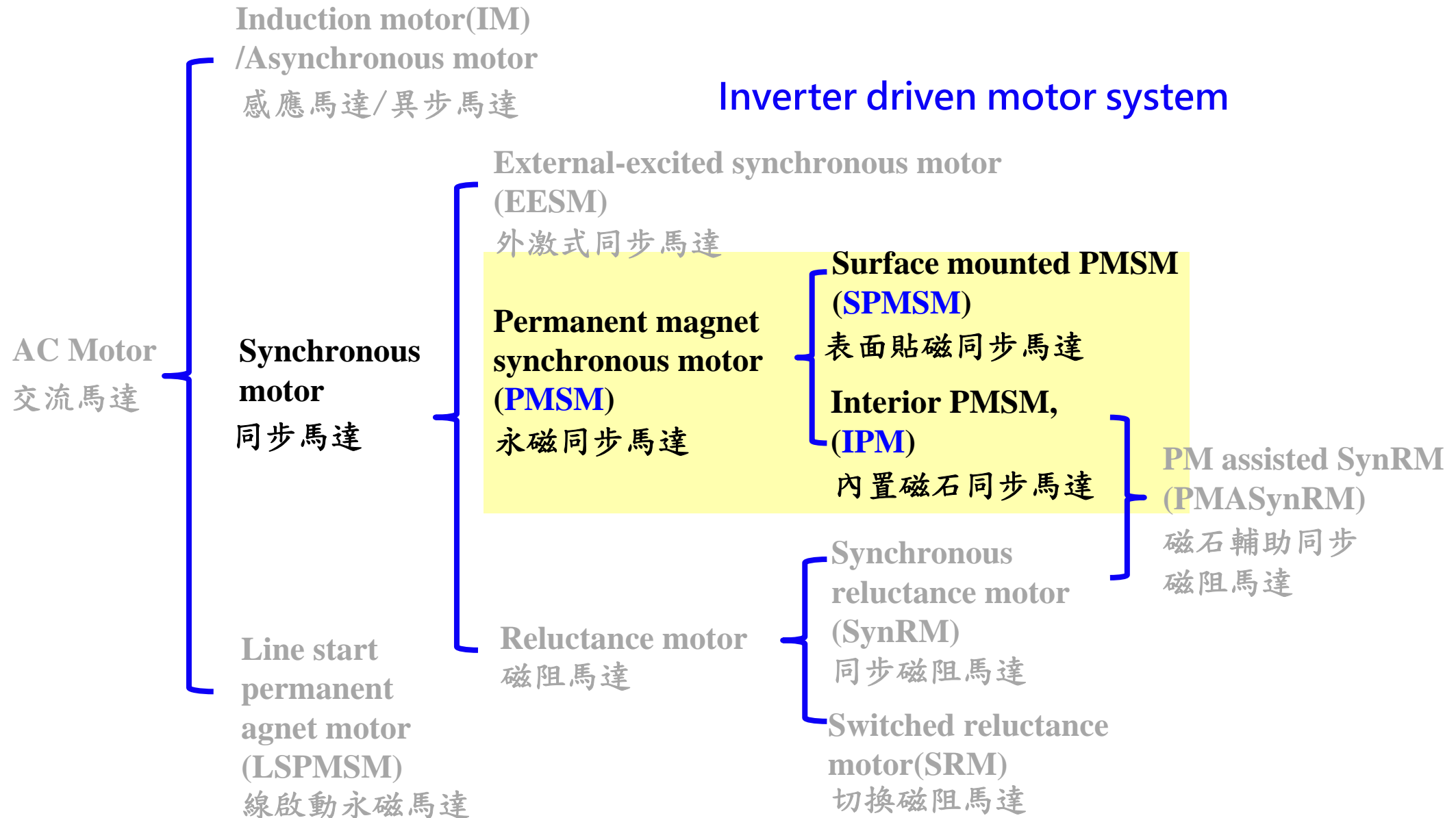
The current regulator design/verification and power measurement of permanent magnet synchronous motors (PMSM)

講師：臺北科技大學 黃明熙教授

助教：許佑澤

時間：2022年4月28日

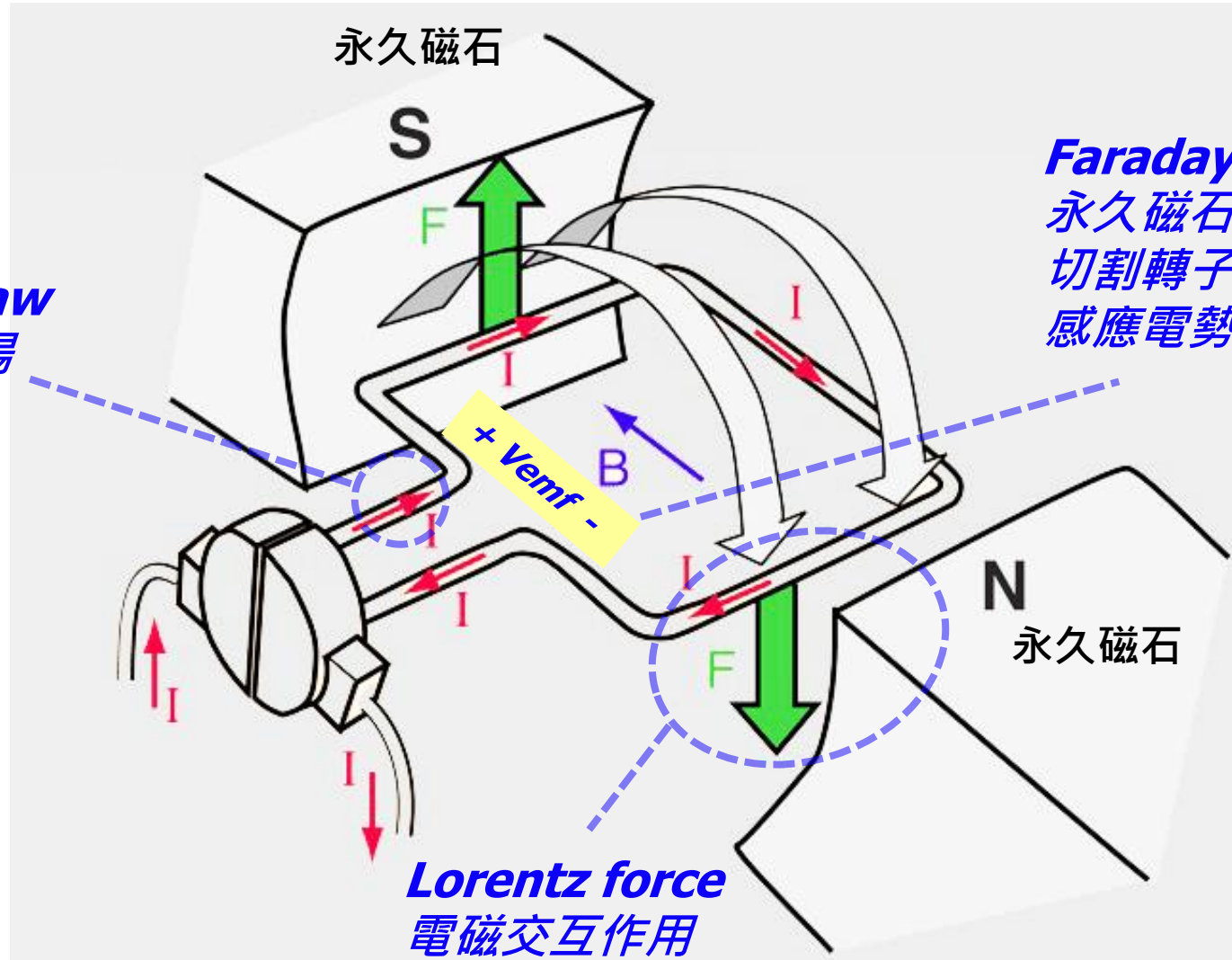
1. 控制架構
2. 電流迴路設計
3. 基於波德圖之電流迴路設計範例 - PI 補償器
4. 電流迴路之驗證
5. 以示波器量測電氣功率及相關訊號
6. 結論



## □ 關鍵定理(以直流馬達結構說明)

- ✓ Faraday's law
- ✓ Ampere's law
- ✓ Lorentz force

**Ampere's law**  
電流產生磁場  
 $B=f(I)$



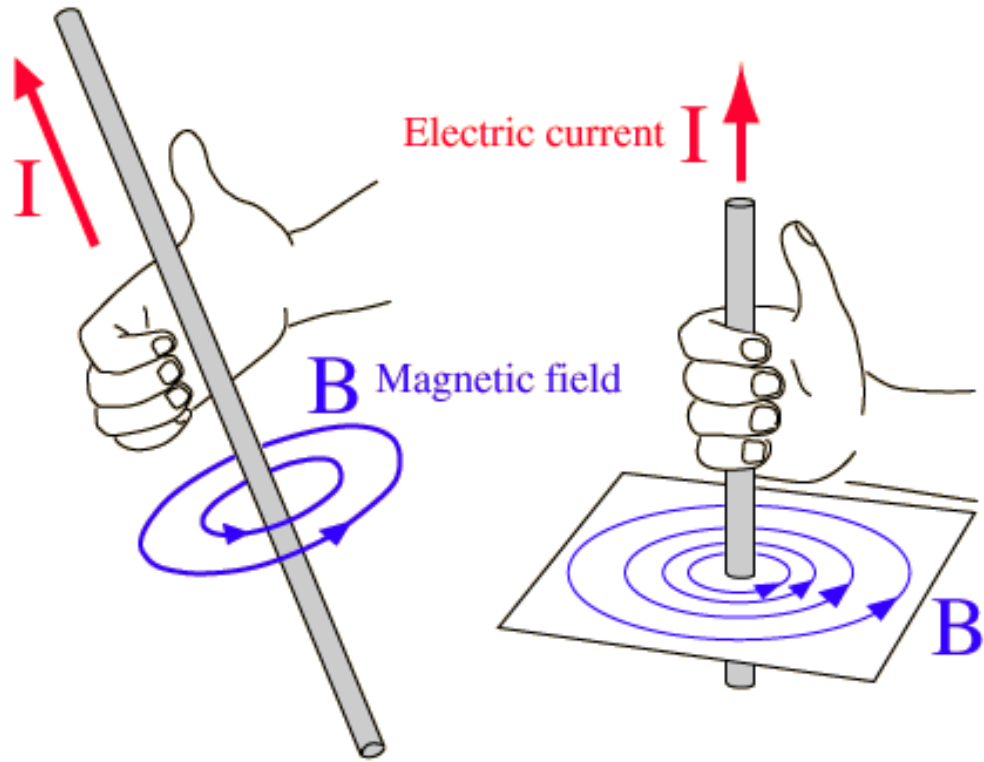
**Faraday's law**  
永久磁石產生磁場  
切割轉子線圈造成  
感應電勢

**Lorentz force**  
電磁交互作用  
 $F=ILB$

## □ 關鍵定理

### ✓ Ampere's law

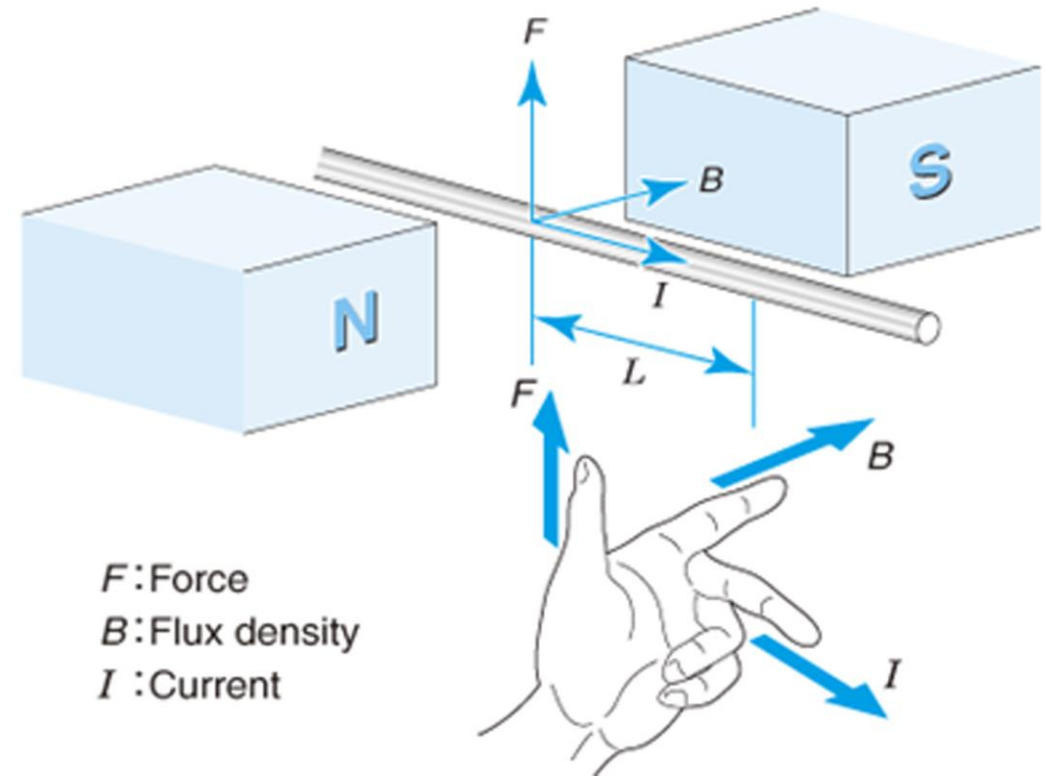
電流流經導線產生磁場



### ✓ Lorentz force

電磁交互作用產生力

(Fleming's Left Hand Rule)



<https://www.nidec.com/cn/technology/motor/basic/00012/>

## □ 輸出轉矩( $T$ )

$$T = F \times r = (I L B) \times r$$

流經導線電流

導線L至中心點距離

導線與磁通密度  
(B)交鏈的長度

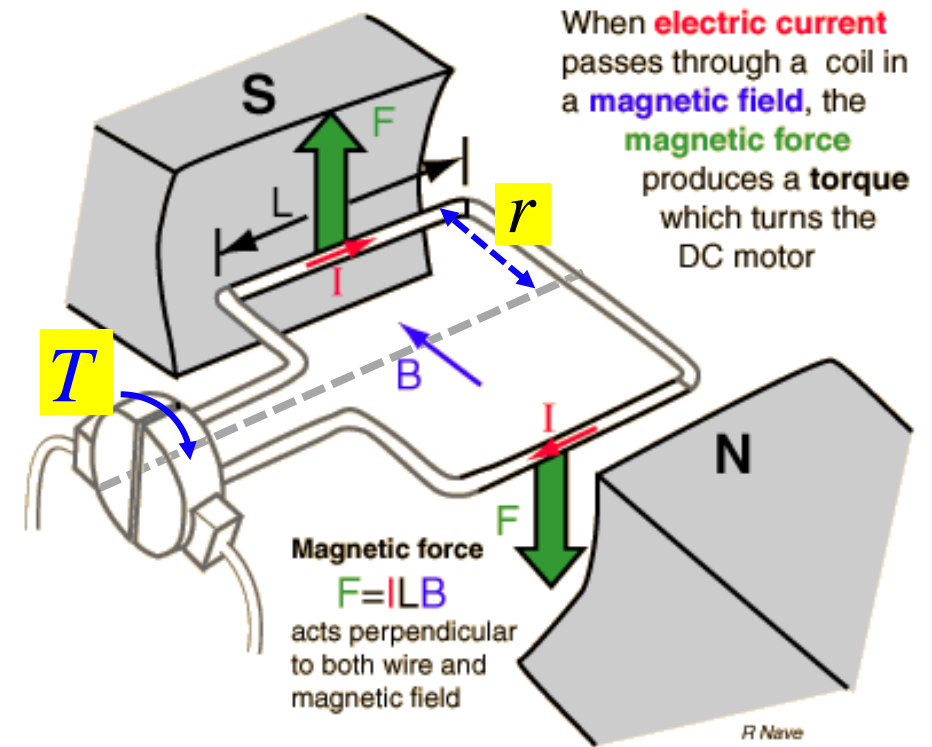
由永久磁石  
產生之磁通密度

✓ 當電流與磁場正交時會得到最大之輸出轉矩

✓ 若B固定不變，T與I成正比

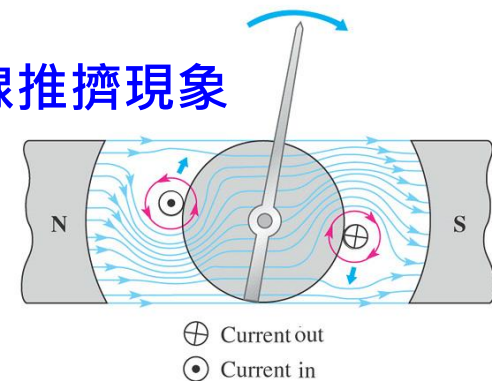
✓ T與r成正比

✓ 磁通密度(B)是電、機能量轉換之媒介



<http://hyperphysics.phy-astr.gsu.edu/hbase/magnetic/motdc.html>

## 磁力線推擠現象



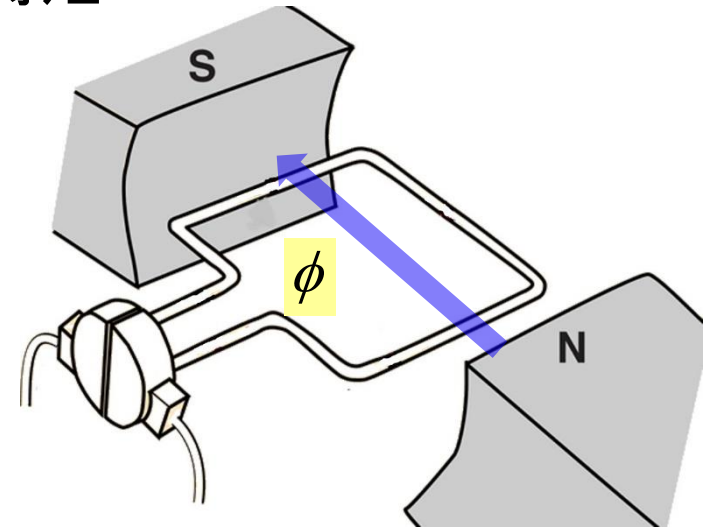
# 控制架構 – 永磁同步馬達控制原理

□ 輸出轉矩( $T$ ) → 定子與轉子磁場交互作用產生的輸出轉矩

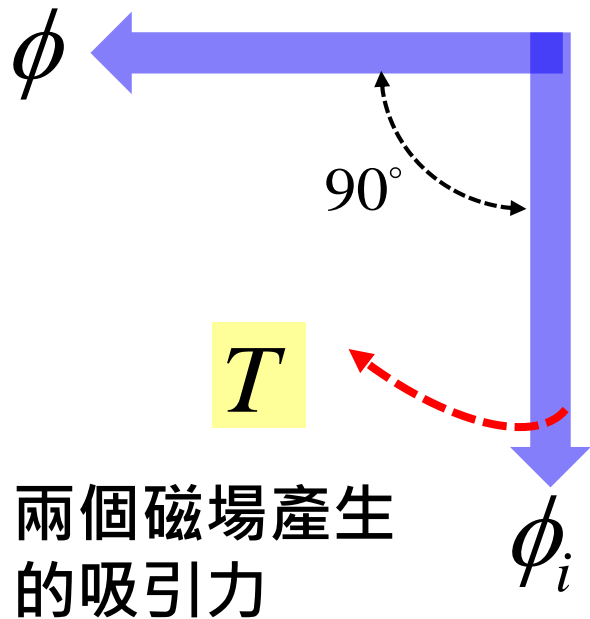
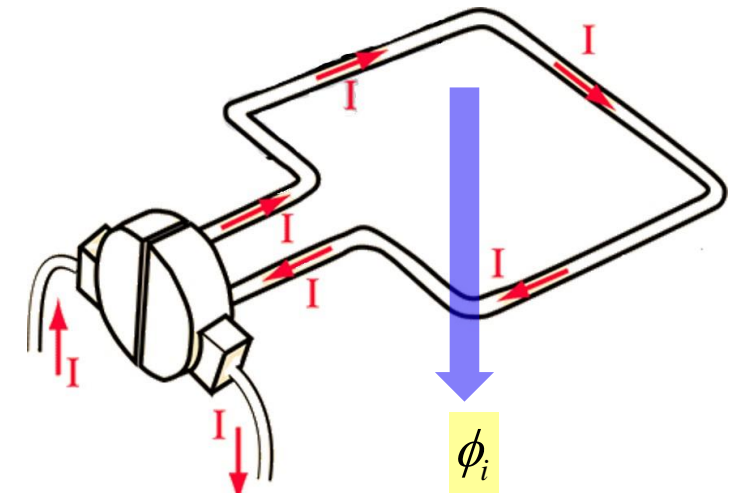
$$T = F \times r = (BLI) \times r = k_1 B_i(I) B$$

$$T = K \phi_i \phi$$

永久磁石  
產生之磁場



電流產生磁場  
Ampere's law



## □ 直流馬達輸出轉矩產生方式 - 磁場交互作用

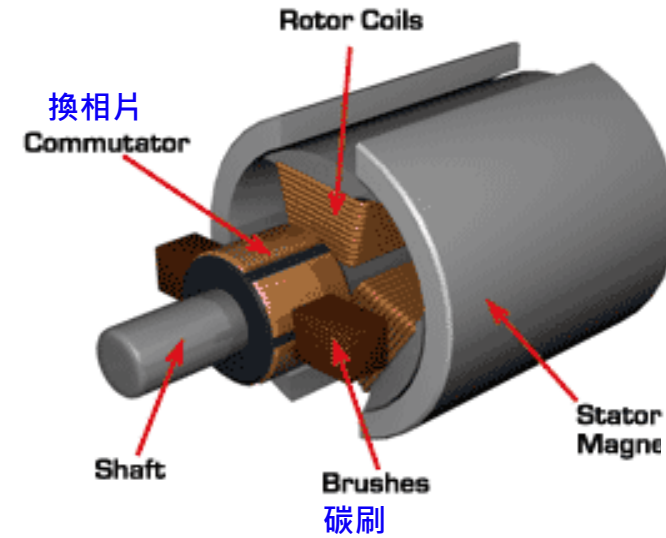
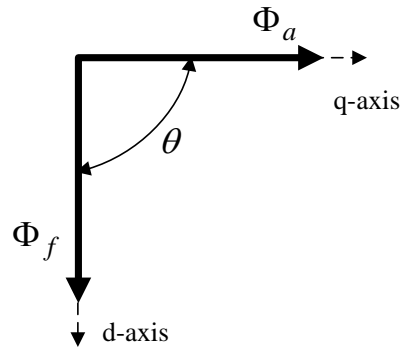
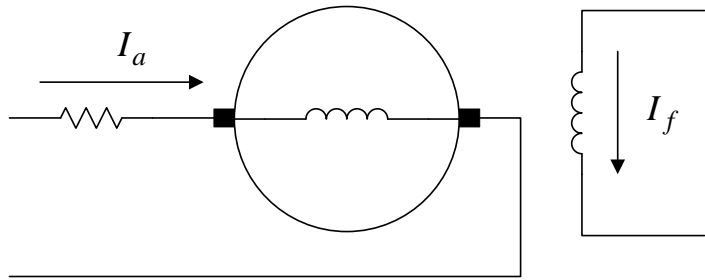


Figure 1 brushed DC motor

<https://dynamictestingonsteppermotor.wordpress.com/2015/03/01/brushed-dc-motor/>



<https://www.pinterest.com/pin/3025924732537737/>

$$T_e \propto \Phi_a \Phi_f \sin(\theta)$$

if  $\Phi_a \propto I_a$ ,  $\Phi_f \propto I_f$  and  $I_f = \text{constant}$

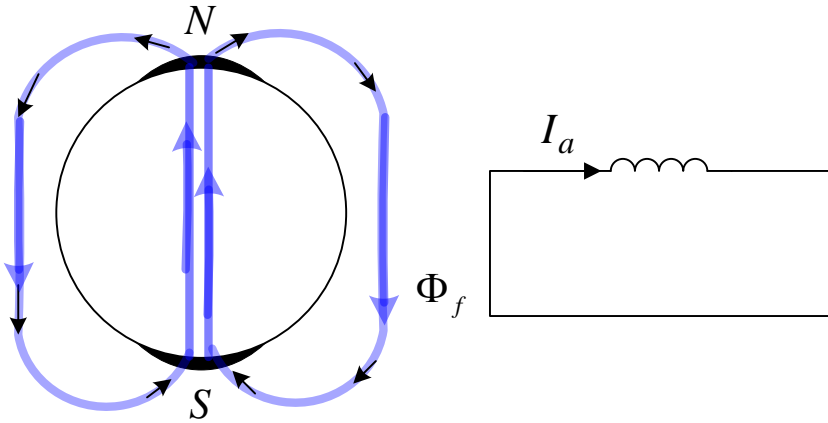
$$T_e \propto \Phi_a \sin(\theta)$$

if  $\theta = 90^\circ$  (由換相片及碳刷完成)

$$T_e \propto \Phi_a \Rightarrow T_e \propto I_a$$



## □ 永磁同步馬達輸出轉矩產生方式 - 磁場交互作用



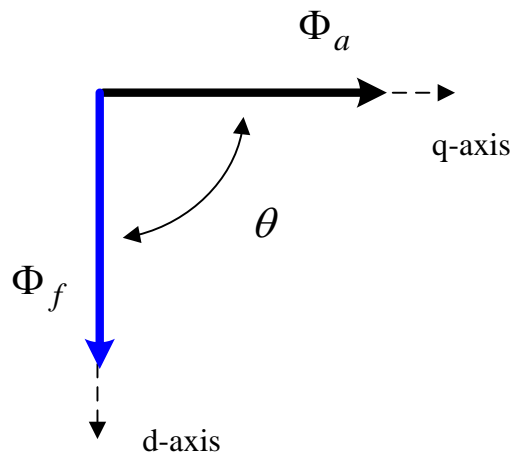
$$T_e \propto \Phi_a \Phi_f \sin(\theta)$$

$$\text{if } \Phi_a \propto I_a$$

$$T_e \propto \Phi_a \sin(\theta)$$

$$\text{if } \theta = 90^\circ \text{ 電子換相來達成}$$

$$T_e \propto \Phi_a \Rightarrow T_e \propto I_a$$



加入感測轉子磁場  
位置之感測元件

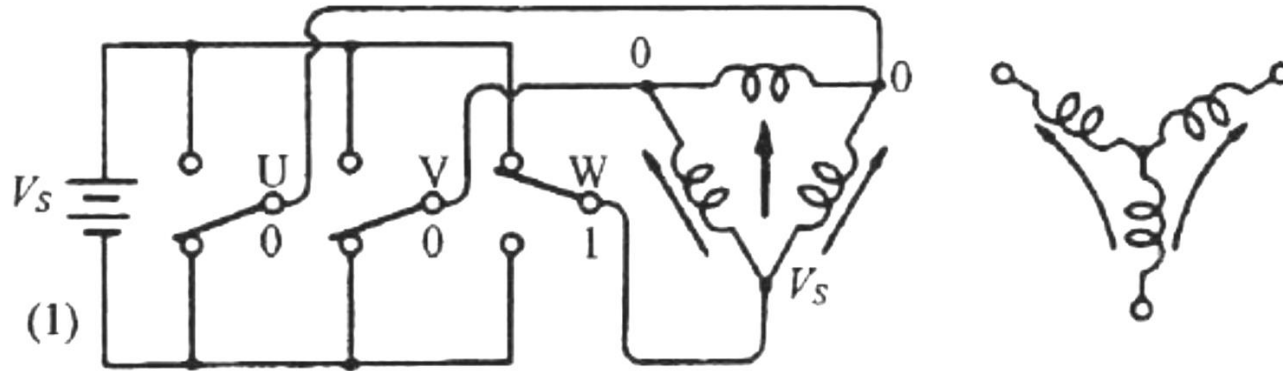
以電壓及(或)電流感測  
元件之訊號來估算轉子  
磁場位置  
(Position sensorless)

如何由輸入定子線圈之三相電流產生旋轉磁場？

□ 定子線圈產生旋轉磁場 – 電壓驅動產生電流，再由電流產生磁場

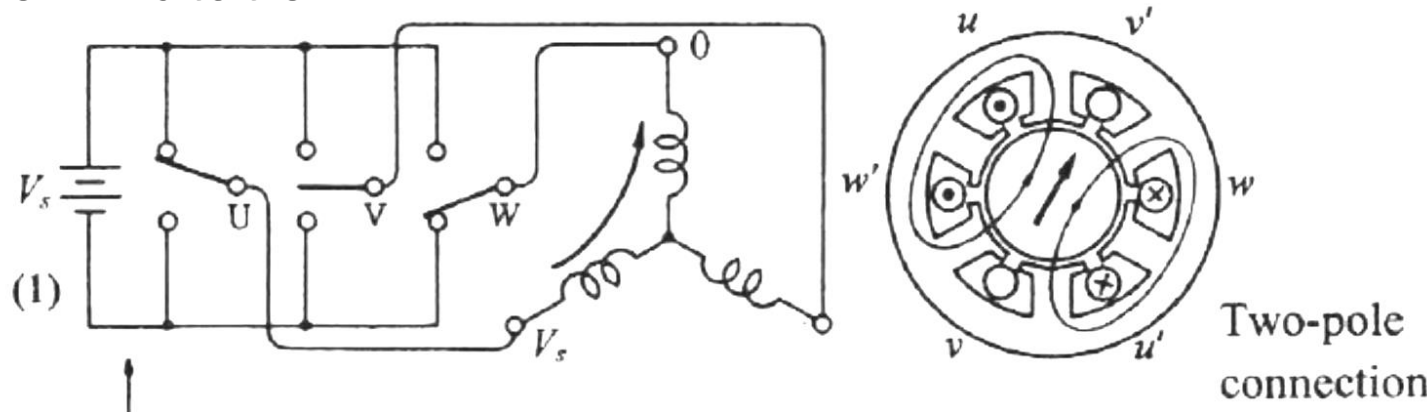
假設三相線圈為Y接且為平衡，亦即線圈相阻抗相同及相反電動勢為平衡。

180° commutation



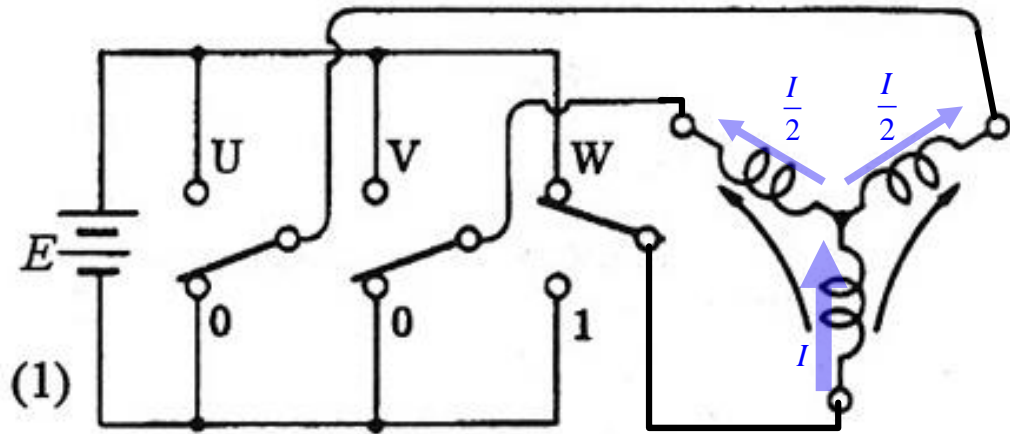
目前電壓驅動  
之主流

120° commutation



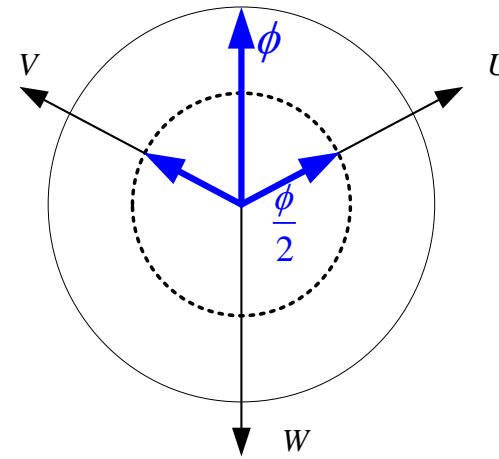
# 控制架構 – 馬達產生輸出轉矩之原理

□ 定子線圈產生旋轉磁場 – 電壓驅動產生電流，再由電流產生磁場



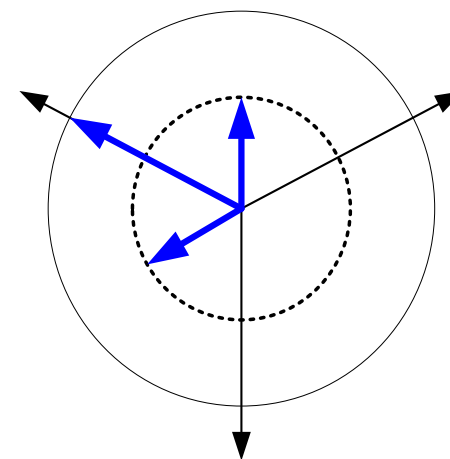
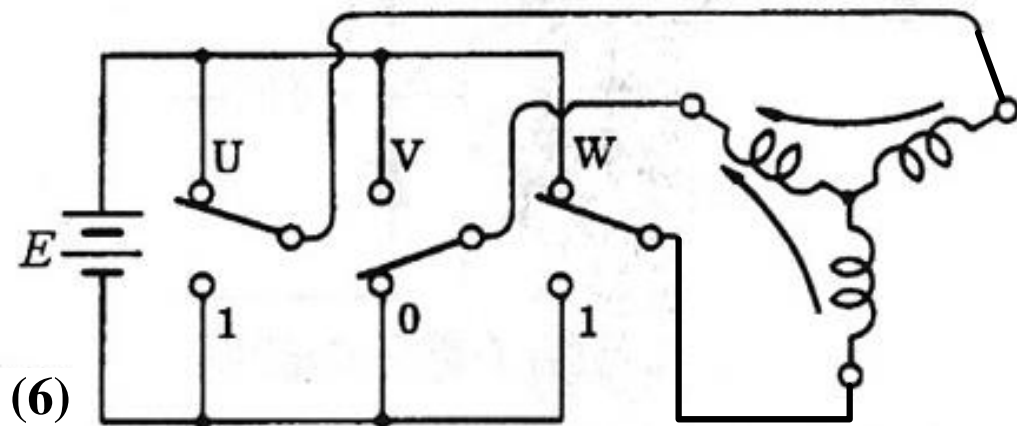
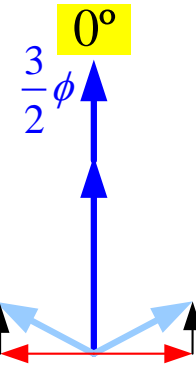
$$I \Rightarrow \phi$$

$$\frac{I}{2} \Rightarrow \frac{\phi}{2}$$

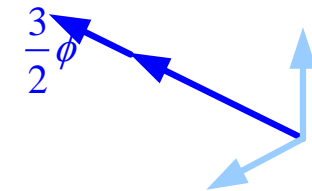


定子磁場

轉子磁場



60°



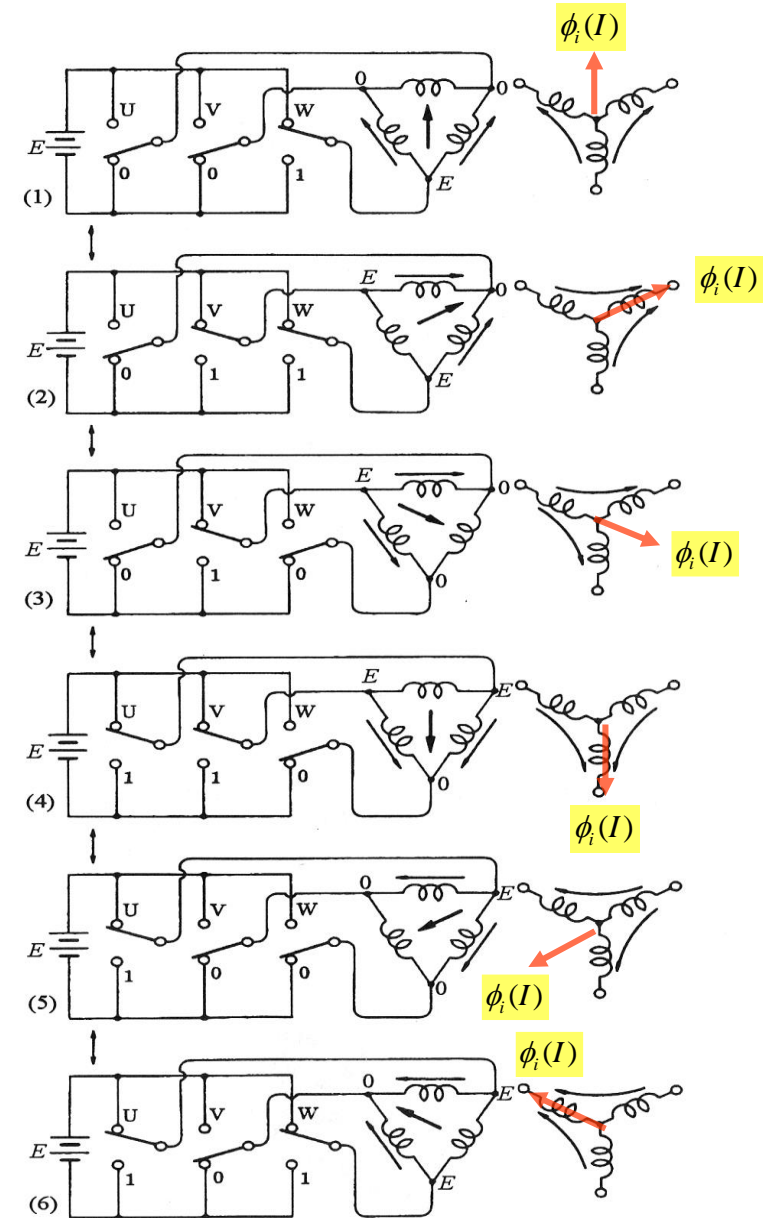
□ 定子線圈產生旋轉磁場 – 電壓驅動產生電流，再由電流產生磁場

- ✓ 由不同的開關組合依序產生旋轉的磁場，目前說明為兩極之三相線圈及粗略使用開關阻態，因此只區分為六段；
- ✓ 使用正弦脈寬調變(**SPWM**)可讓旋轉磁場解析度提高；
- ✓ 輸入線圈電流大小可經由脈寬調變來間接調控。

$$T = K \phi_i(I) \phi$$

$$T = k_t I$$

調控輸入線圈電流 >> 調控輸出轉矩



## 輸出轉矩方程式

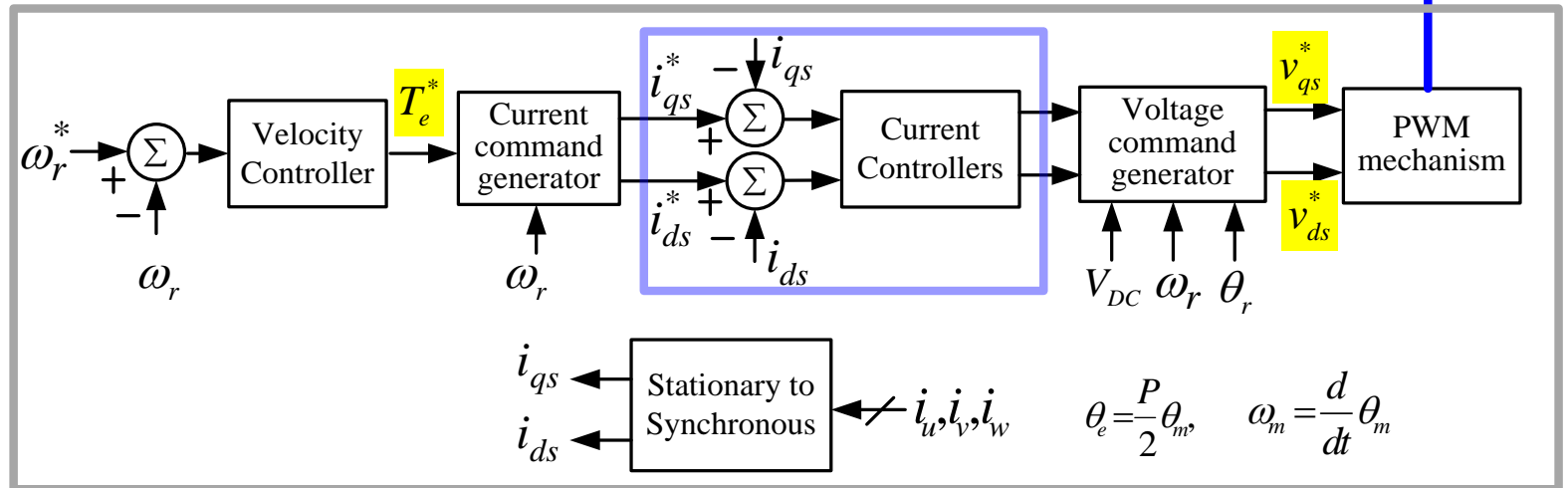
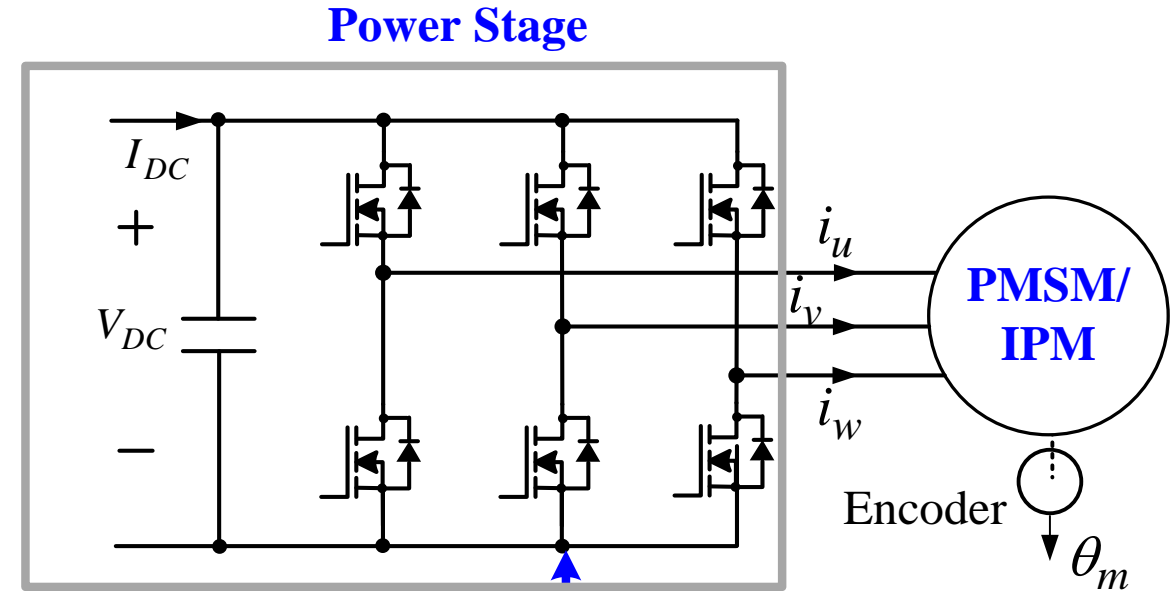
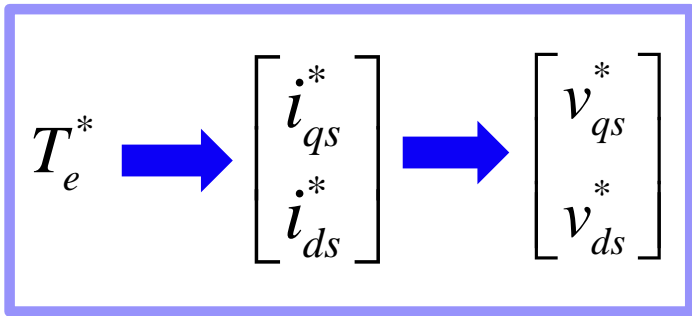
$$T_e = \frac{3}{2} \frac{P}{2} \left[ \lambda_m i_{qs} + (L_{ds} - L_{qs}) i_{qs} i_{ds} \right]$$

$$= \frac{3}{2} \frac{P}{2} \lambda_m i_{qs} + \frac{3}{2} \frac{P}{2} (L_{ds} - L_{qs}) i_{qs} i_{ds}$$

電磁轉矩

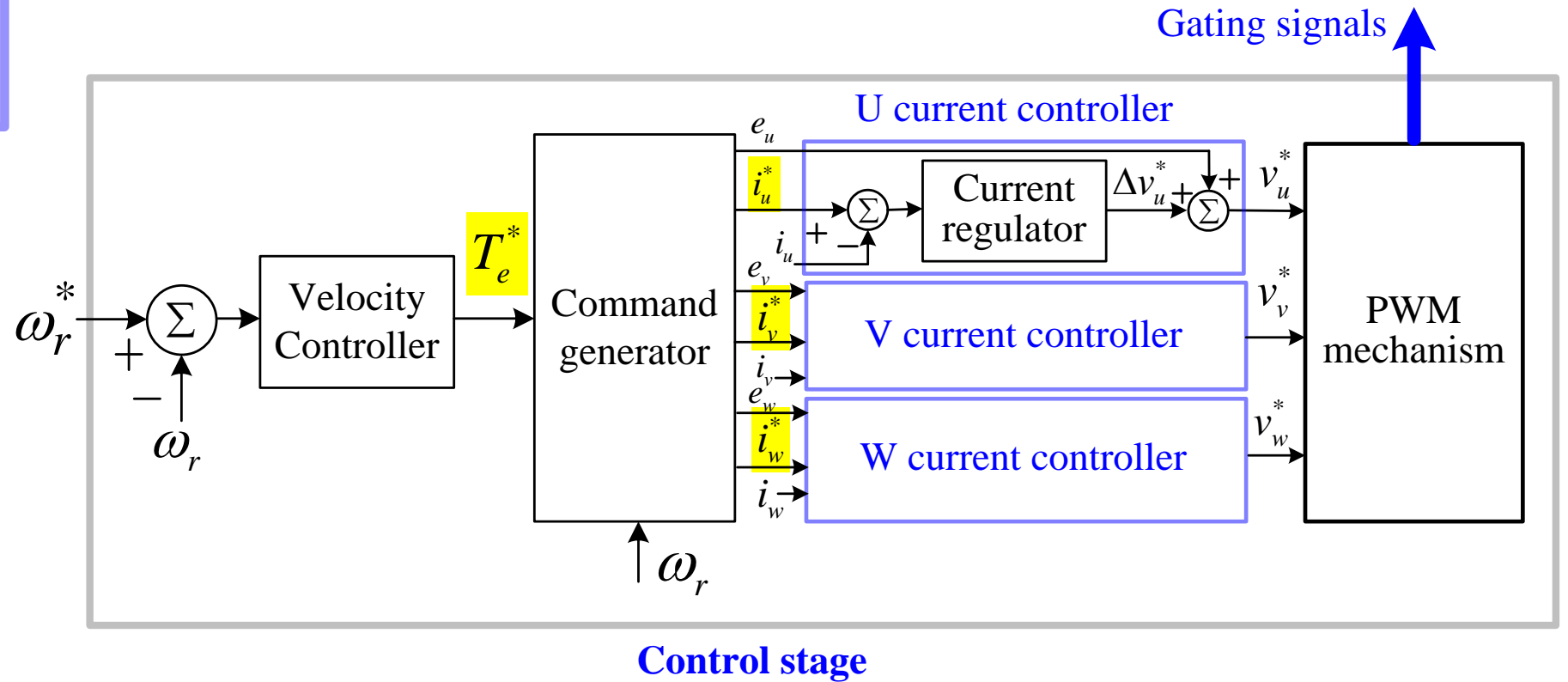
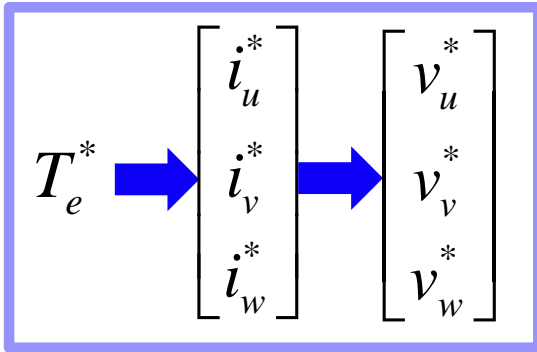
磁阻轉矩

$$= f(i_{qs})$$



## Control Stage

# 控制架構 – 靜止框三相獨立電流控制

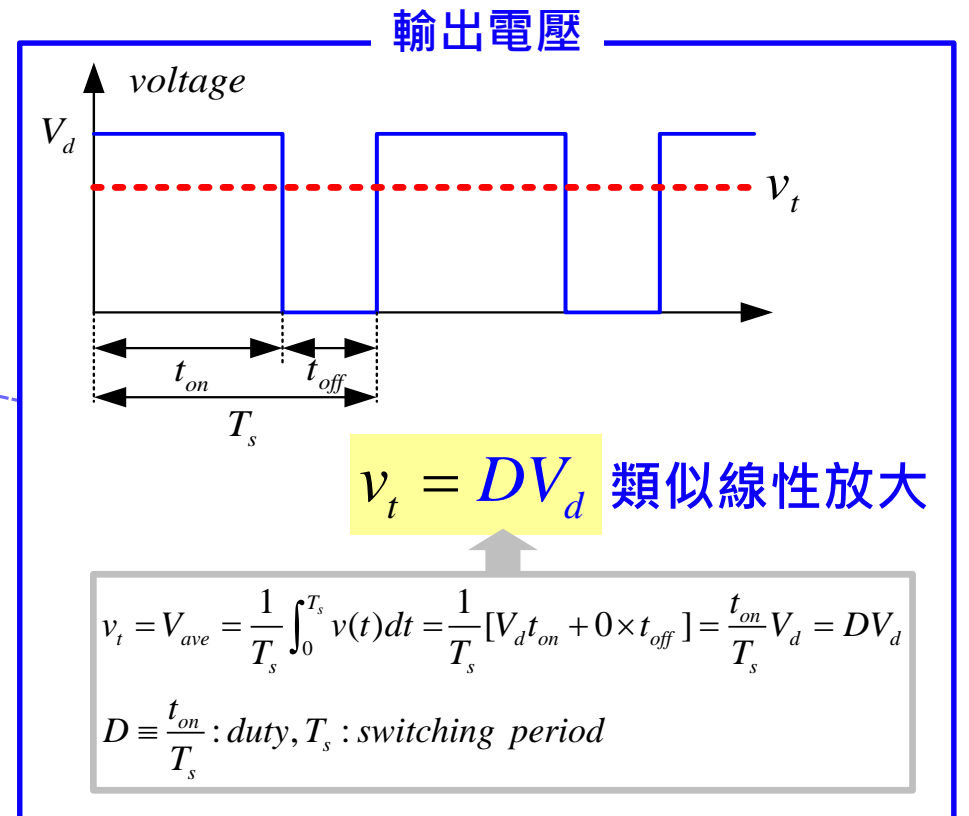
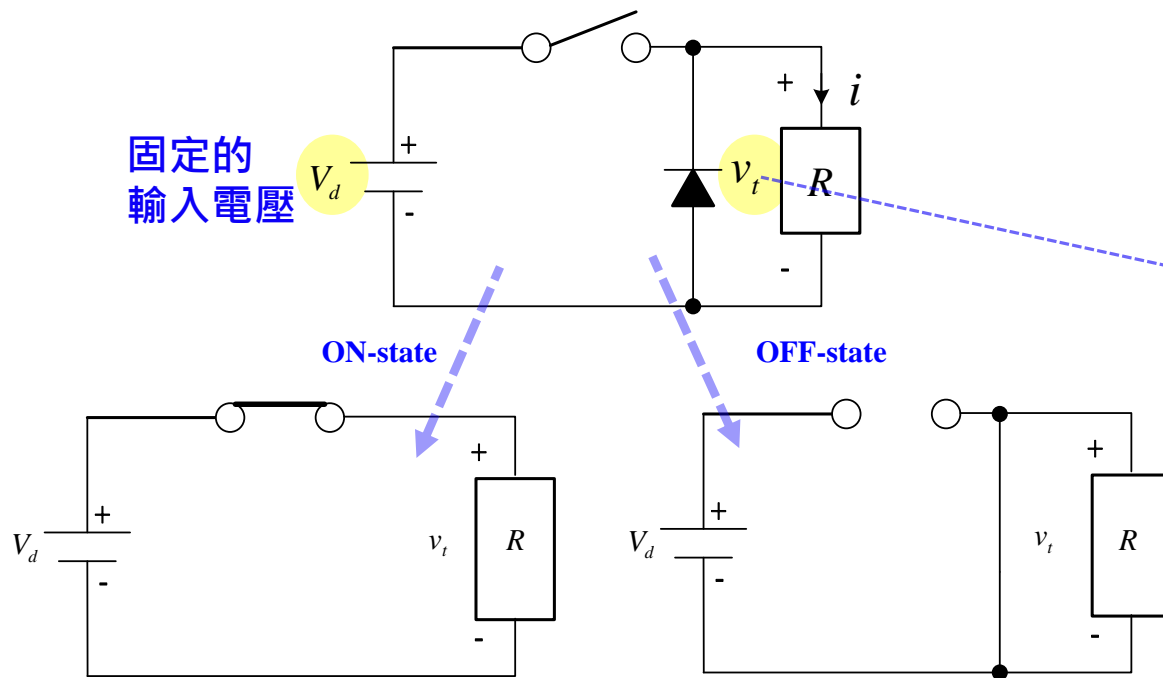


## □ 脈波寬度調變技術(PWM, Pulse Width Modulation)

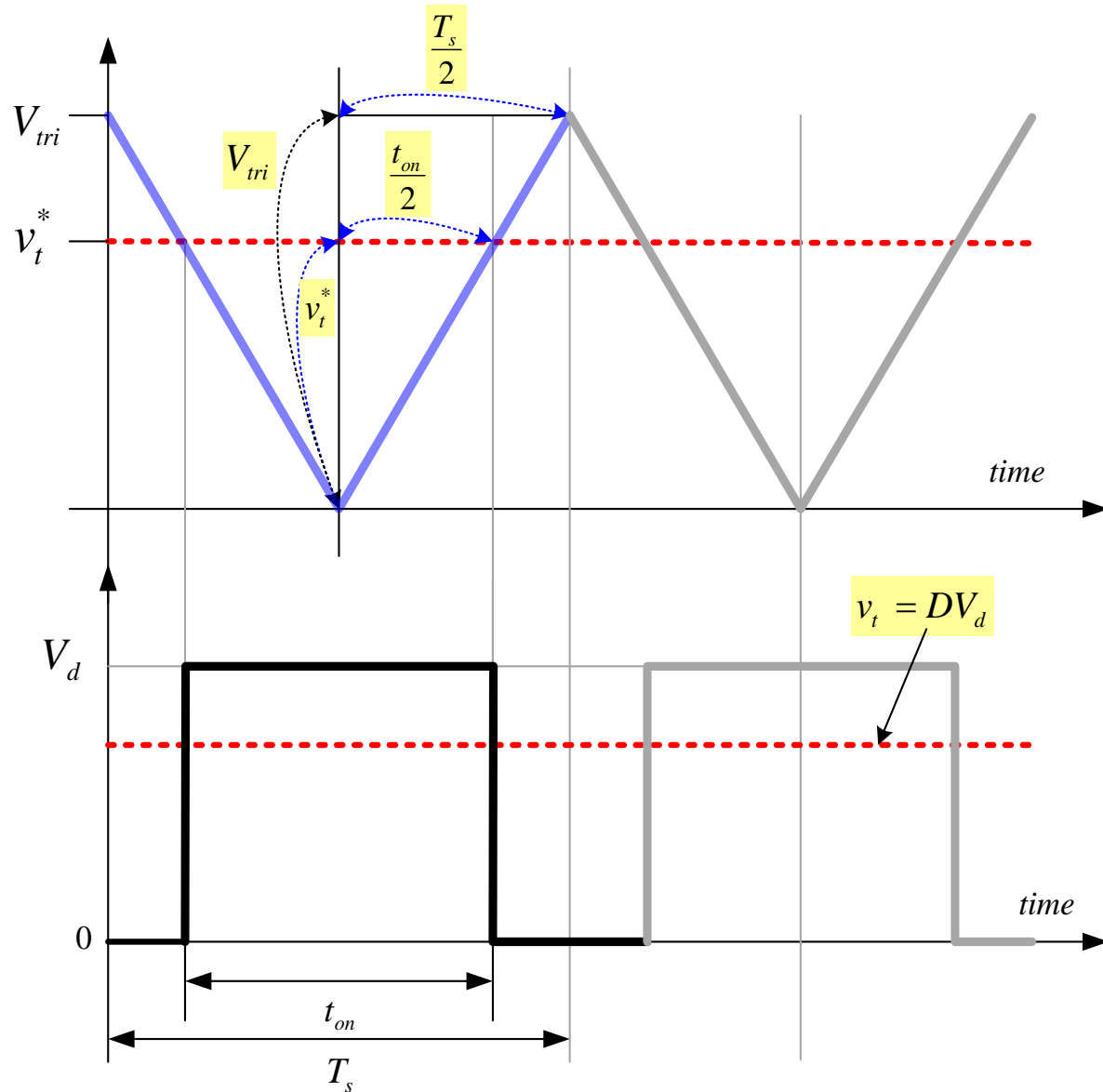
- ✓ 取代過去以電晶體進行功率線性放大 >> 效率差
- ✓ 將功率晶體操作在非線性區 >> 以On-Off取代線性放大，可有效地降低功率晶體損失

□ PWM目的是在固定輸入電壓  $V_d$  下，調控輸出電壓  $v_t$  達到負載電流  $i$  控制的目的。

$$v_t = DV_d \rightarrow i = \frac{v_t}{R}$$

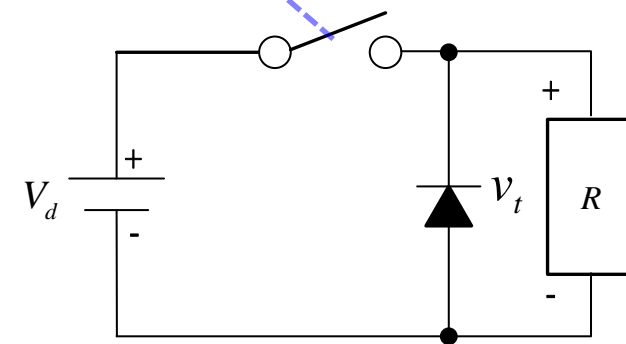


## □ PWM實現方法



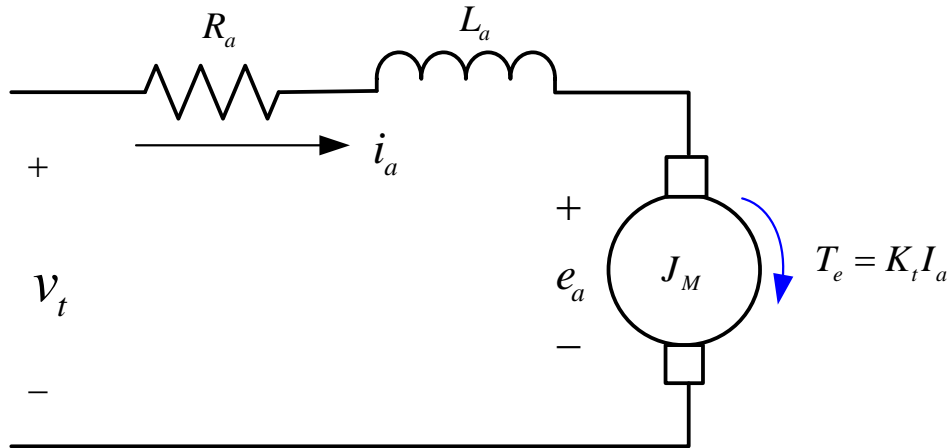
$$\frac{V_{tri}}{T_s} = \frac{v_t^*}{t_{on}} \Rightarrow \frac{v_t^*}{V_{tri}} = \frac{t_{on}}{T_s}$$

$$t_{on} = \frac{v_t^*}{V_{tri}} T_s = DT_s$$



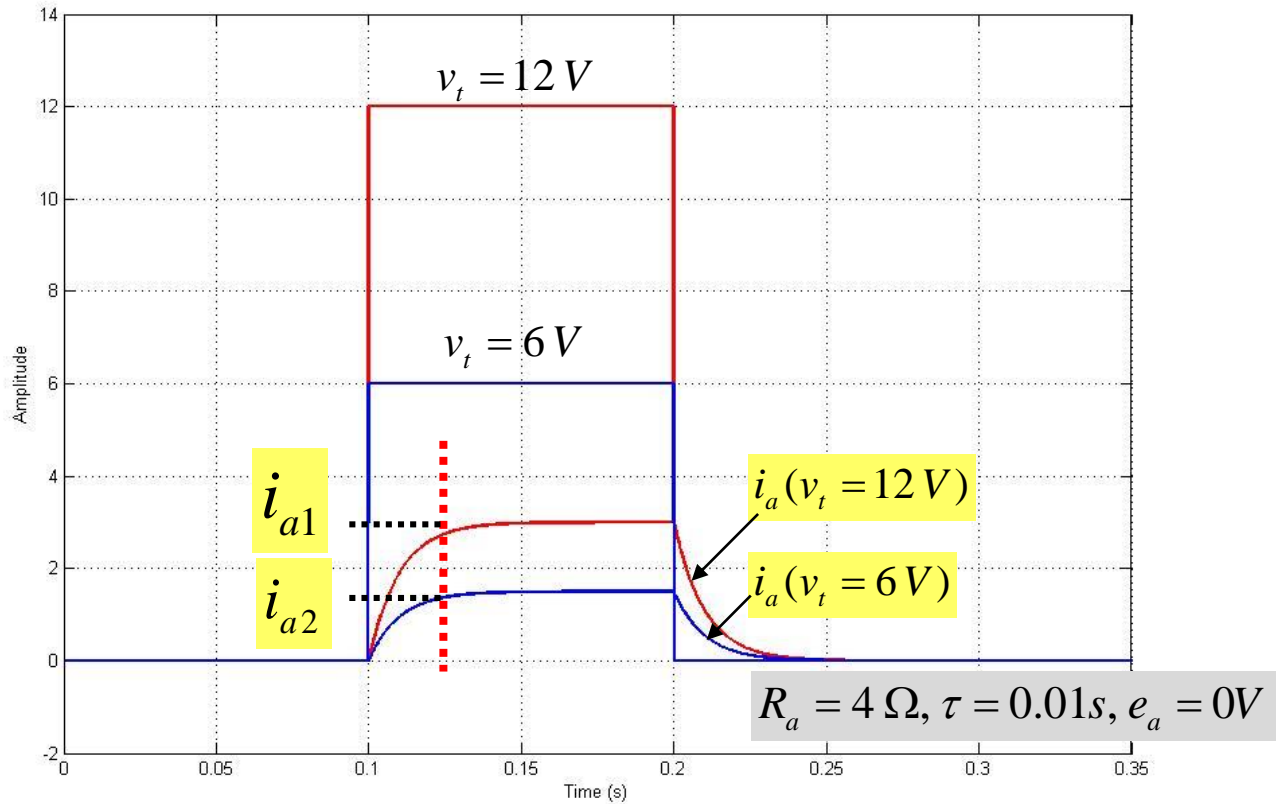


## 馬達電氣時間常數及電壓差



$$i_a(t) = \frac{(v_t - e_a)}{R_a} (1 - e^{-\frac{t}{\tau}})$$

$$\tau = \frac{L_a}{R_a} \text{ :時間常數} \\ \text{time constant}$$

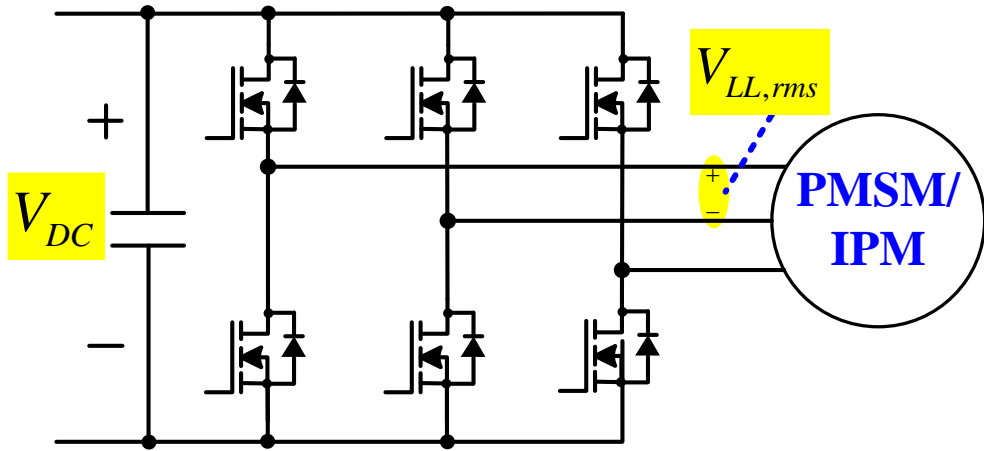


相同電氣參數下，電壓差  $(v_t - e_a)$  愈大，在相同時間下電流愈大，亦即輸出轉矩響應較快

$$i_{a1} \geq i_{a2} \Rightarrow T_{e1} (= K_t i_{a1}) \geq T_{e2} (= K_t i_{a2})$$

馬達在高轉速區可使用過調變來提高輸出轉矩響應

過調變 – 針對正弦波的相電壓命令  $v^*(t)$ ，目的是在有限直流鏈電壓  $V_{DC}$  下提高輸出有效線電壓  $V_{LL,rms}$

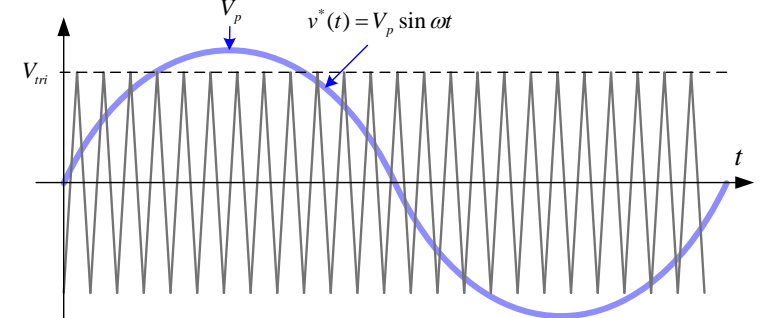
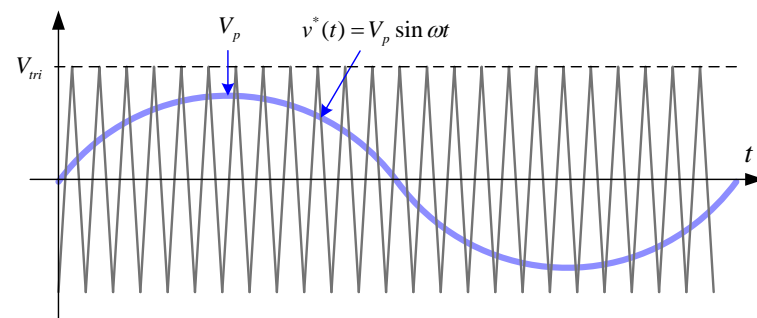
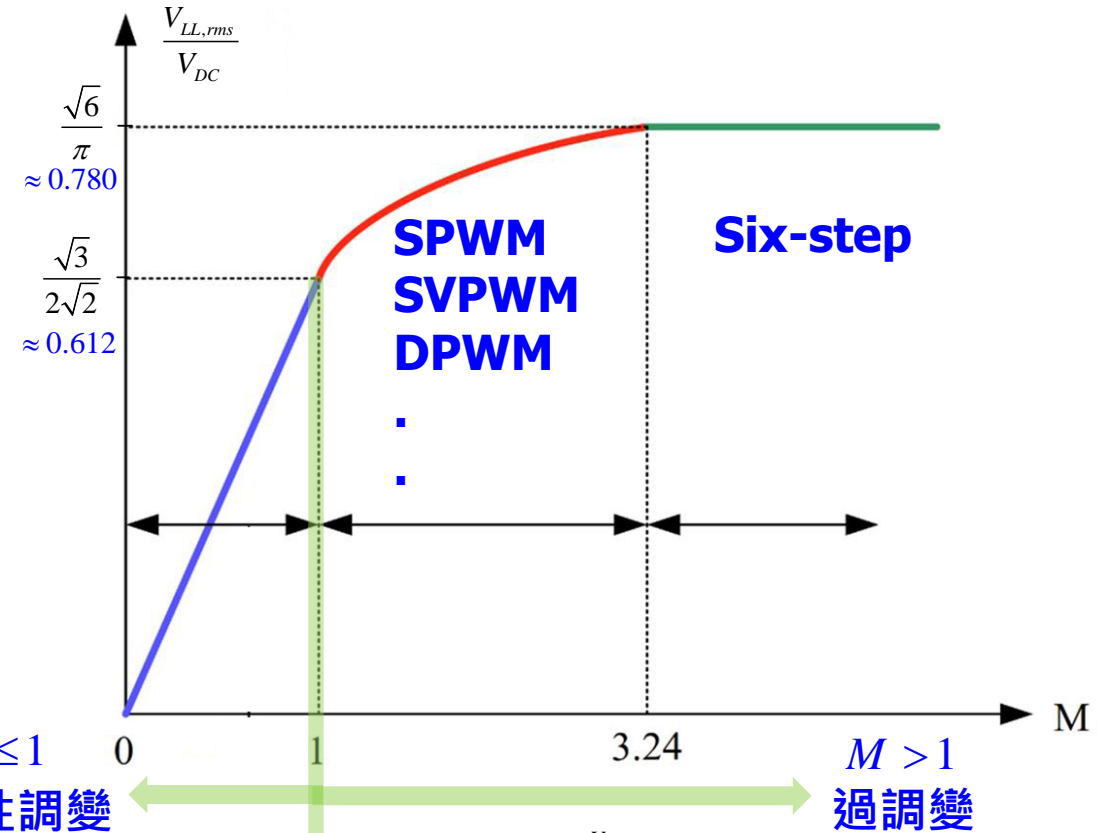


調變指數  
Modulation  
index

$$M \propto \frac{V_p}{V_{tri}}$$

$$v^*(t) = V_p \sin \omega t$$

$V_{tri}$  三角波峰值



## □ 電流漣波、切換頻率及馬達損失

- ✓ 較大電流漣波會增加馬達損失(銅損+鐵損)
- ✓ 提高功率晶體切換頻率可有效降低電流漣波
- ✓ 一般IGBT或Si MOSFET提高切換頻率會增加切換損失；
- ✓ SiC MOSFET具較低的切換損失，因此可提高切換頻率來降低馬達損失及噪音。

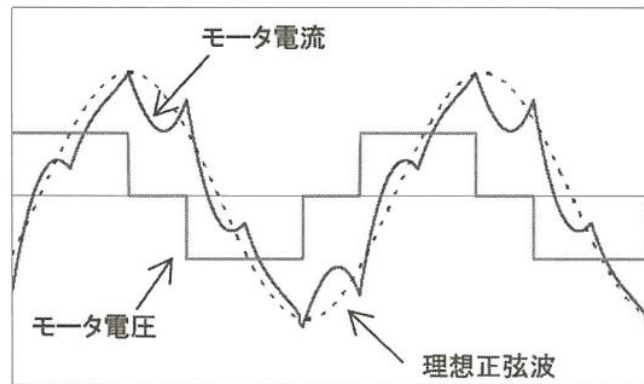
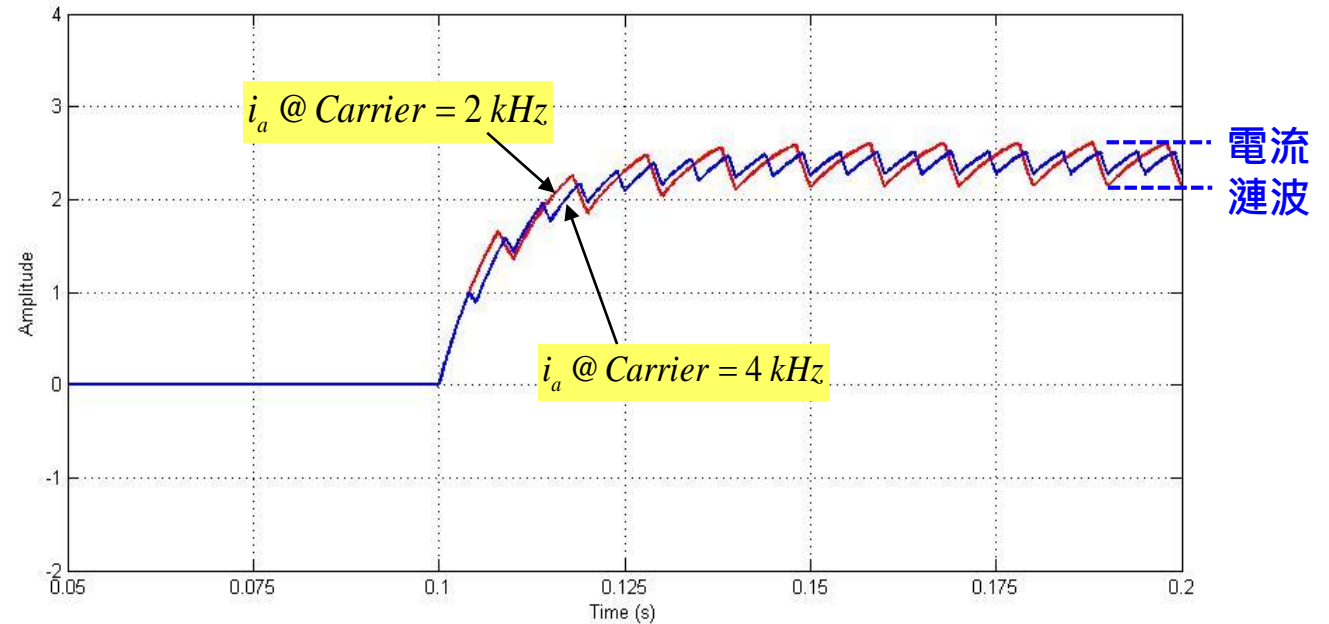


図20. 1パルス駆動時電圧・電流波形

### SiC MOSFET with asynchronous PWM

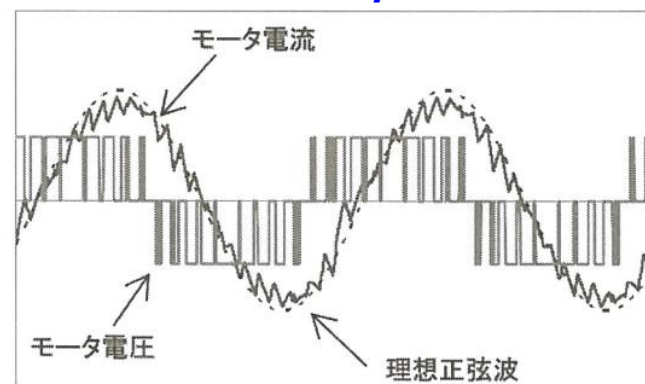
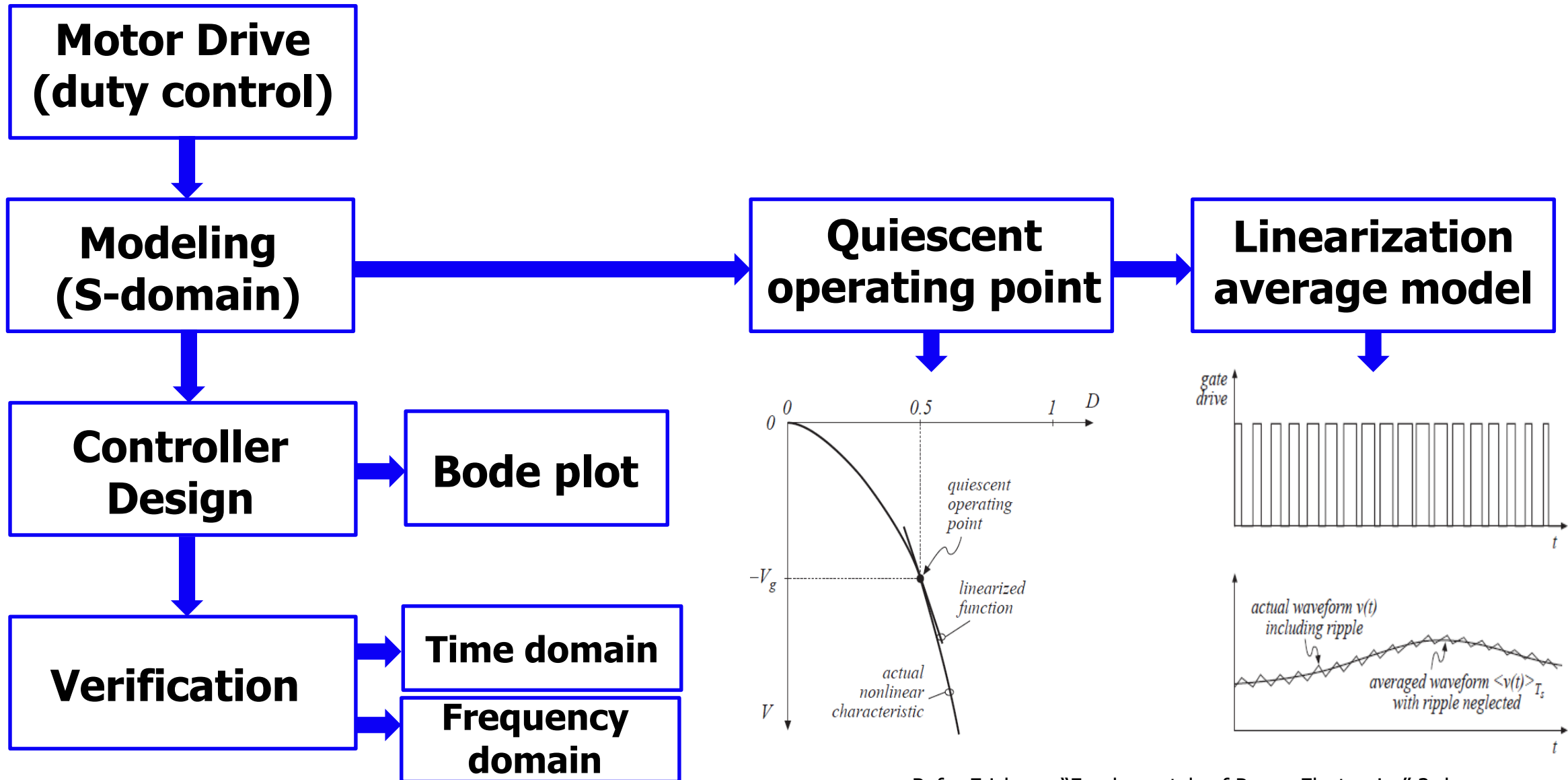


図21. 非同期PWM・多パルス駆動時電圧・電流波形

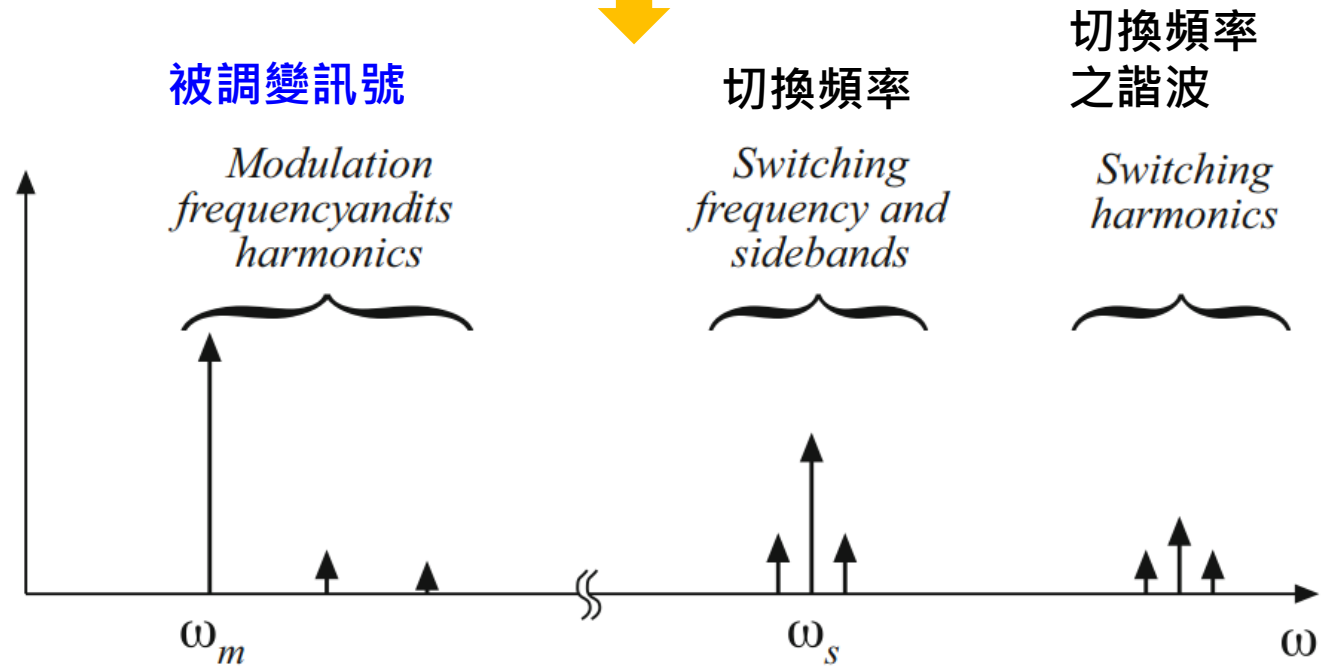
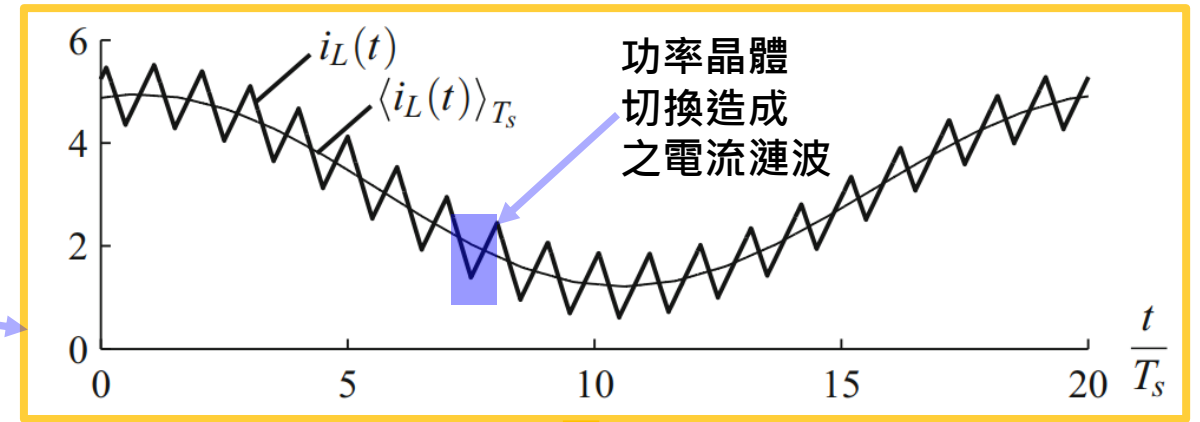
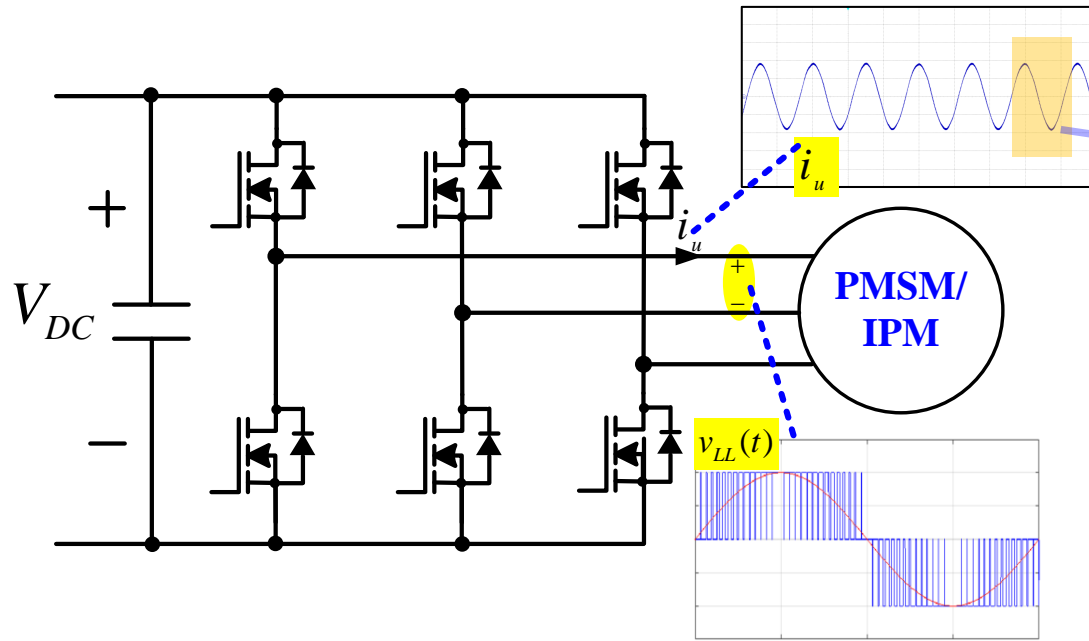
- SiCの低損失特性を活かしたスイッチング周波数向上によりモータの高周波損失を削減
- V/f 傾きを下げたモータ設計により非同期PWM・多パルス運転範囲を拡大 モータ低損失化、低騒音化に寄与 (最大40%減) (最大7dB減)

Ref: 37<sup>th</sup> Motor Tech. Symposium, Techno-Frontier 2017

1. 控制架構
- 2. 電流迴路設計**
3. 基於波德圖之電流迴路設計範例 - PI 補償器
4. 電流迴路之驗證
5. 以示波器量測電氣功率及相關訊號
6. 結論



## 電流迴路之頻率範圍



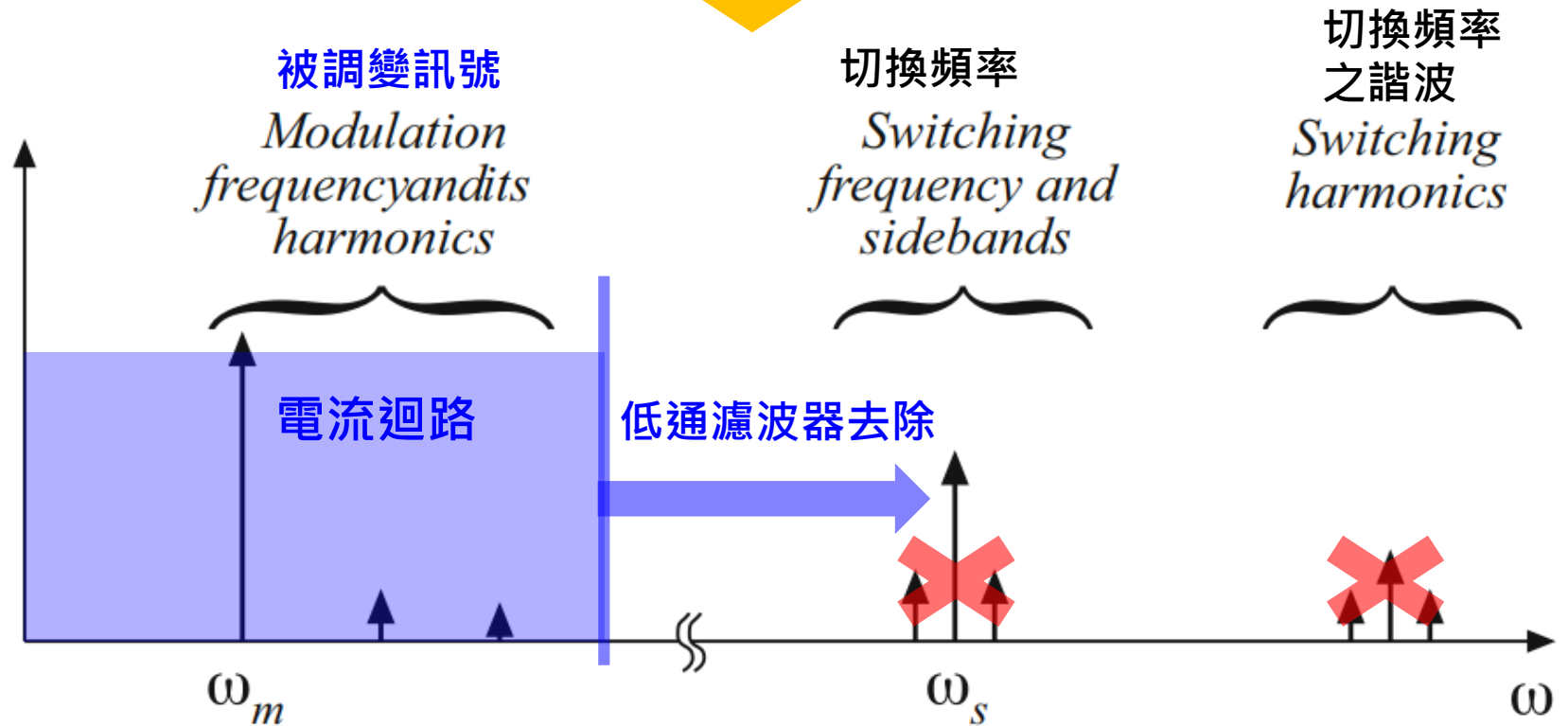
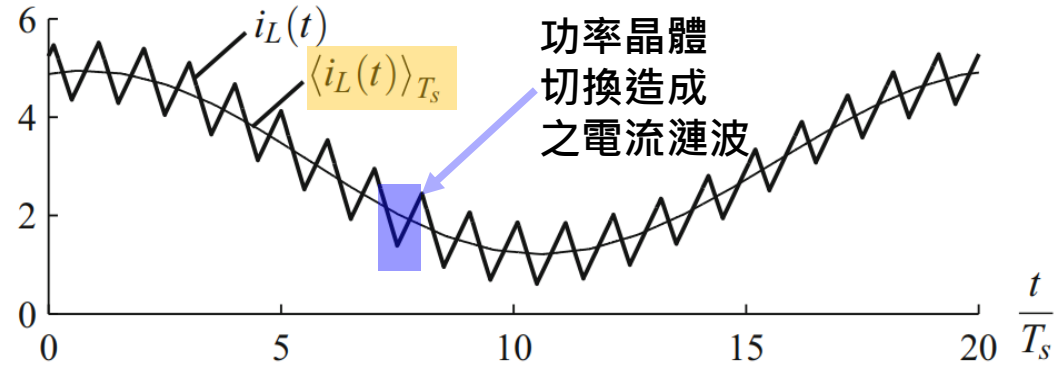
## 電流漣波去除方法

✓ 切換週期平均值 > 理論分析

$$\langle x(t) \rangle_{T_s} = \frac{1}{T_s} \int_{t-T_s/2}^{t+T_s/2} x(\tau) d\tau$$

$T_s$ : 切換週期,  $\omega_s = \frac{2\pi}{T_s}$

✓ 低通濾波器 > 實現系統 (SW+HW)



## □ Bode plot 特點

- ✓ 適用於線性系統
- ✓ 穩定度分析 } Phase margin  $\varphi_m$
- ✓ 動態響應 } Crossover frequency  $\omega_c$

## □ Second order system

Frequency domain

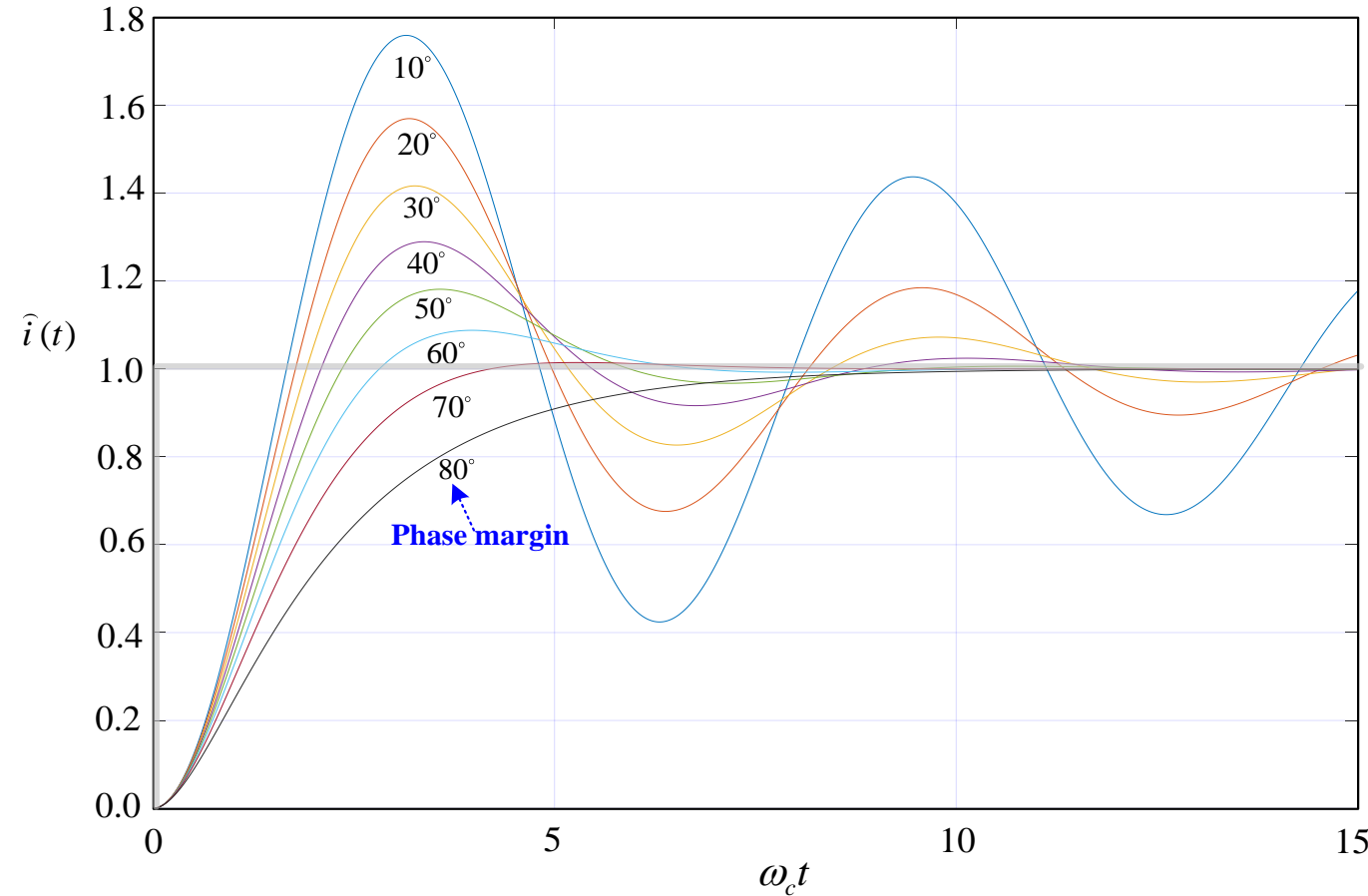
$$\frac{T(s)}{1+T(s)} = \frac{1}{1 + \frac{s}{Q\omega_c} + \left(\frac{s}{\omega_c}\right)^2}$$

Time domain  
(Unit step response)



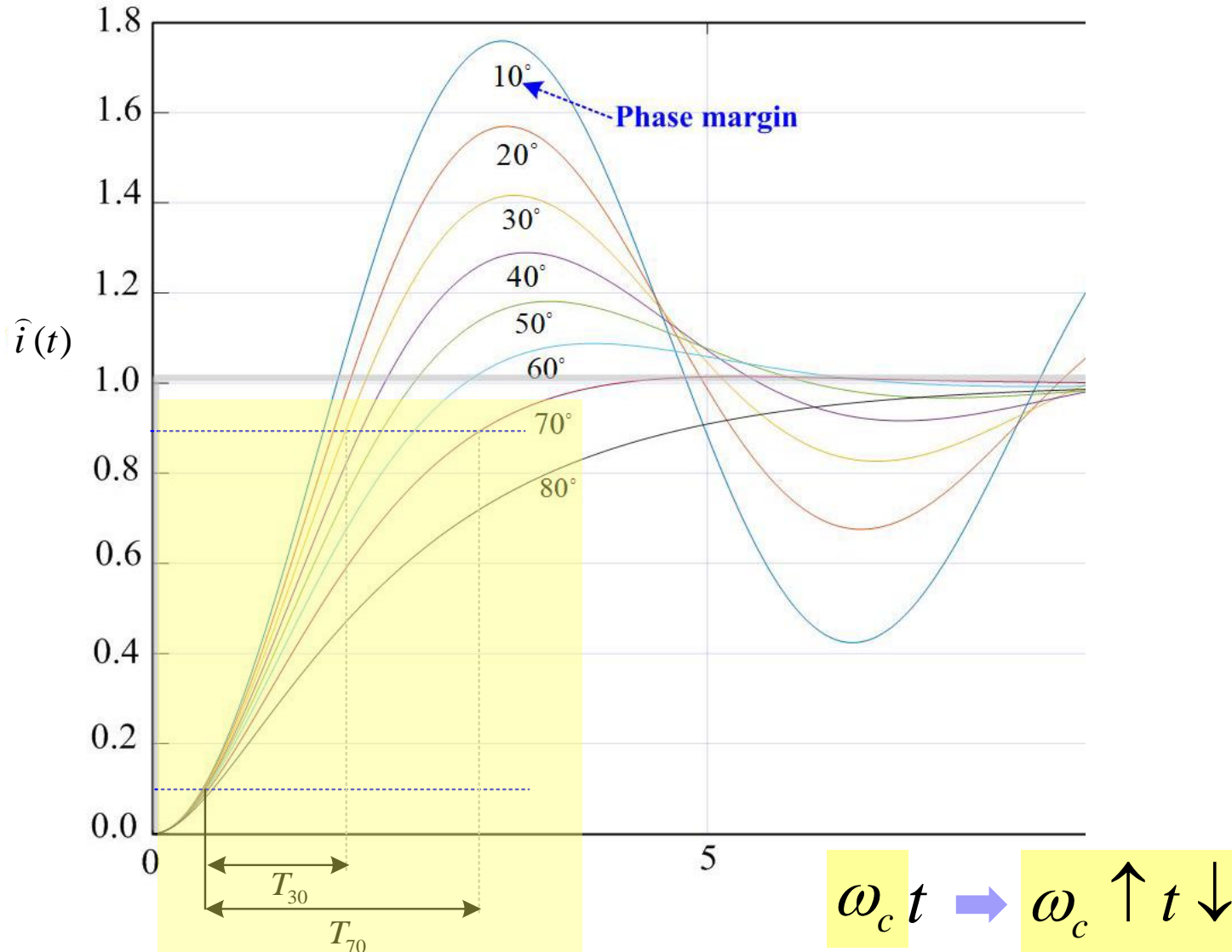
$$\hat{i}(t) = 1 - \frac{2Qe^{-\omega_c t/2Q}}{\sqrt{4Q^2 - 1}} \sin \left[ \frac{\sqrt{4Q^2 - 1}}{2Q} \omega_c t + \tan^{-1}(\sqrt{4Q^2 - 1}) \right]$$

$$Q = \frac{\sqrt{\cos(\varphi_m)}}{\sin(\varphi_m)}$$





## 單位步階響應的上升時間 (2<sup>nd</sup> order system)



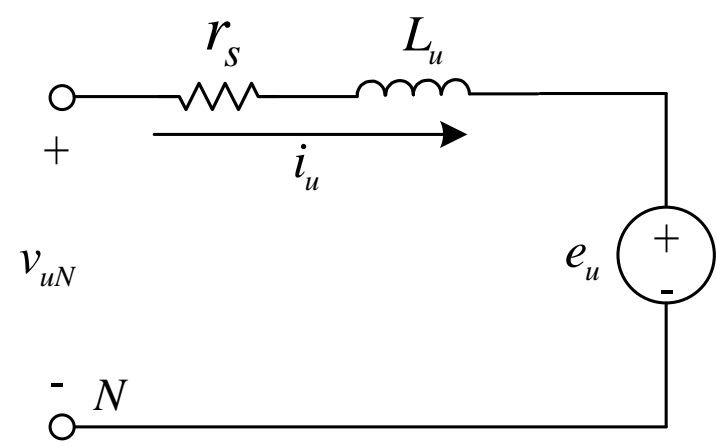
$\omega_c$  愈大及較小的  $\varphi_m$   
皆會縮短 rising time

$T_{30}$  : Rising time @  $\varphi_m = 30^\circ$

$T_{70}$  : Rising time @  $\varphi_m = 70^\circ$

## 電流迴路之小訊號模型 (假設電氣參數及負載轉矩不變)

	工作點	擾動量	
$v_{uN}(t) = V_{uN0} + \Delta v_u(t)$			輸入電壓變動造成其他訊號的擾動
$i_u(t) = I_{u0} + \Delta i_u(t)$			
$e_u(t) = E_{uN0} + \Delta e_u(t)$			
$T(t) = T_0 + \Delta T(t)$			
$\omega(t) = \omega_0 + \Delta \omega(t)$			



$$v_{uN} = L_u \frac{d}{dt} i_u + r_s i_u + e_u$$

$$V_{uN0} + \Delta v_u = (L_u \frac{d}{dt} I_{u0} + r_s I_{u0} + E_{uN0}) + L_u \frac{d}{dt} \Delta i_u + r_s \Delta i_u + \Delta e_u$$

去除工作點

$$V_{uN0} = L_u \frac{d}{dt} I_{u0} + r_s I_{u0} + E_{uN0}$$

小訊號方程式  $\Delta v_u = L_u \frac{d}{dt} \Delta i_u + r_s \Delta i_u + \Delta e_u$

Laplace transform

$$\frac{\Delta i_u(s)}{\Delta v_u(s)} = \frac{1}{L_u s + r_s}$$

小訊號模型

機械功 = 電氣功

$$\omega T = 3e_u i_u = 3K_e \omega i_u$$

$$\begin{cases} T = 3K_e i_u \\ T = J \frac{d}{dt} \omega + B\omega + T_L \end{cases}$$

$$\Delta T = 3K_e \Delta i_u$$

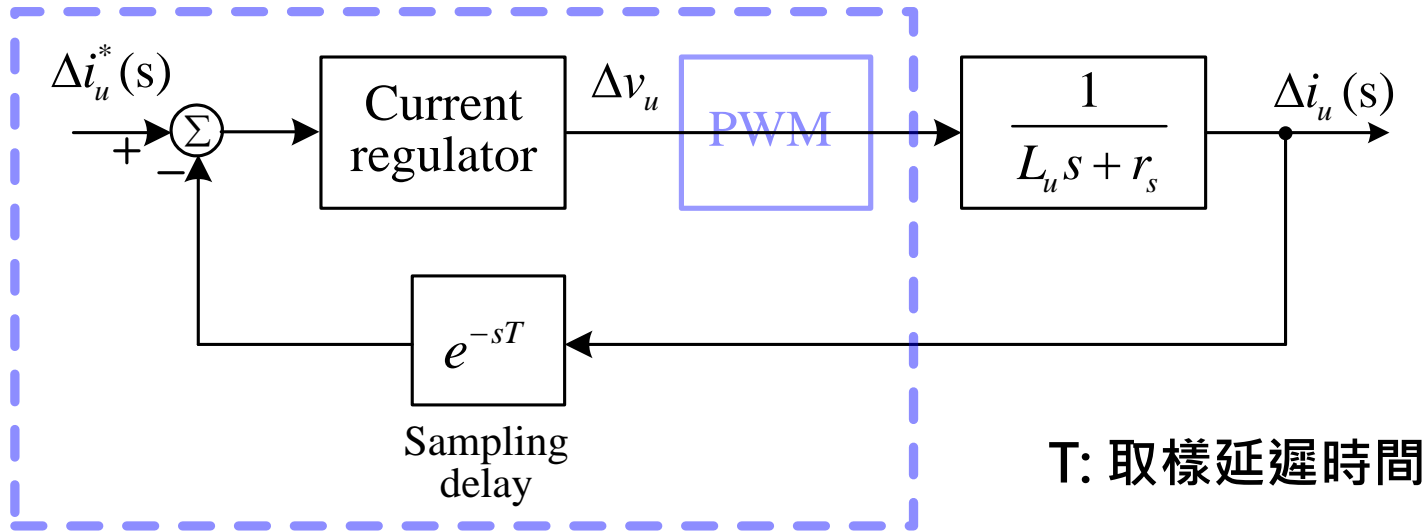
$$\Delta T = J \frac{d}{dt} \Delta \omega + B\Delta \omega$$

$$\Delta e_u = K_e \Delta \omega$$

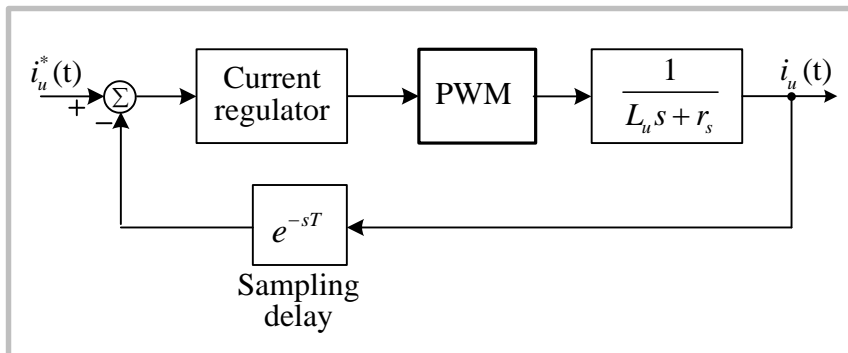
$$\Delta e_u = K_e \Delta \omega \square 0$$

馬達(含負載)慣量大及擾動電流小，可忽略反電動勢的變動

## 電流迴路之小訊號控制架構



## 電流迴路控制架構

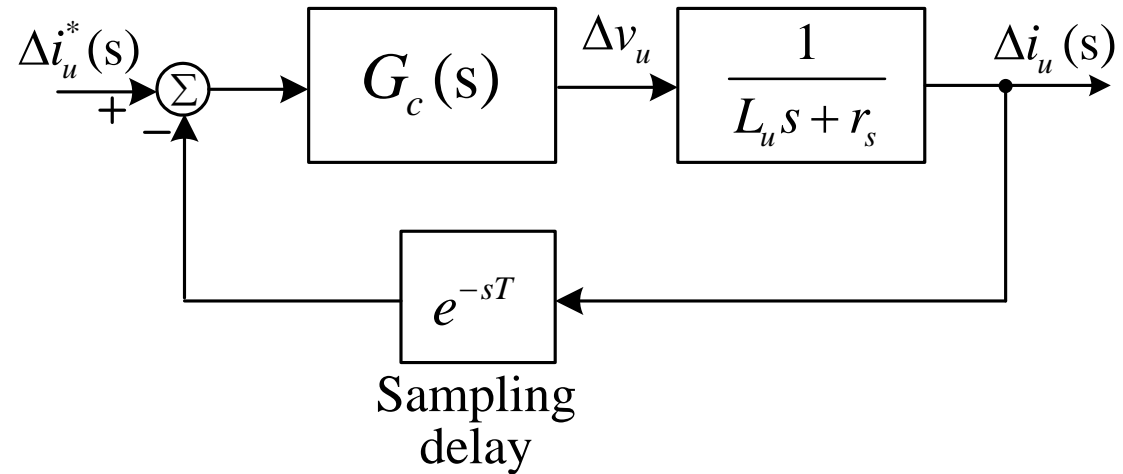


1. 控制架構
2. 電流迴路設計
- 3. 基於波德圖之電流迴路設計範例 - PI 補償器**
4. 電流迴路之驗證
5. 以示波器量測電氣功率及相關訊號
6. 結論

## 電流迴路之控制器設計

Controller specifications	
Crossover frequency	600Hz
Phase margin	52°

PMSM參數及規格	
參數	數值
$L_d$	14.26mH
$L_q$	14.80mH
$L_s$	14.53mH
$R_s$	1.74Ω
ke	31.5V <sub>rms</sub> /1000rpm
額定轉速	2000rpm
額定轉矩	1.9Nm
額定電流	2.6A



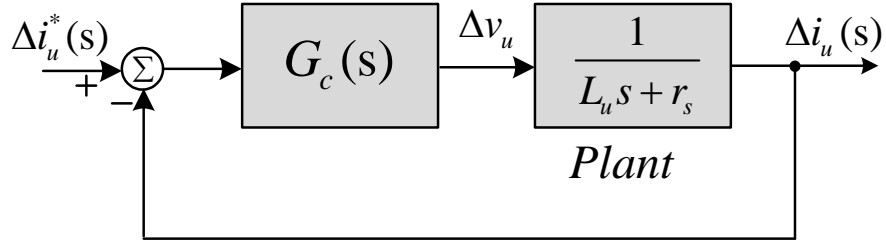
$$G_c(s) = K_P + \frac{K_I}{s} \quad \text{電流控制器採用比例積分形式}$$

$$\omega = 2\pi \times 600$$

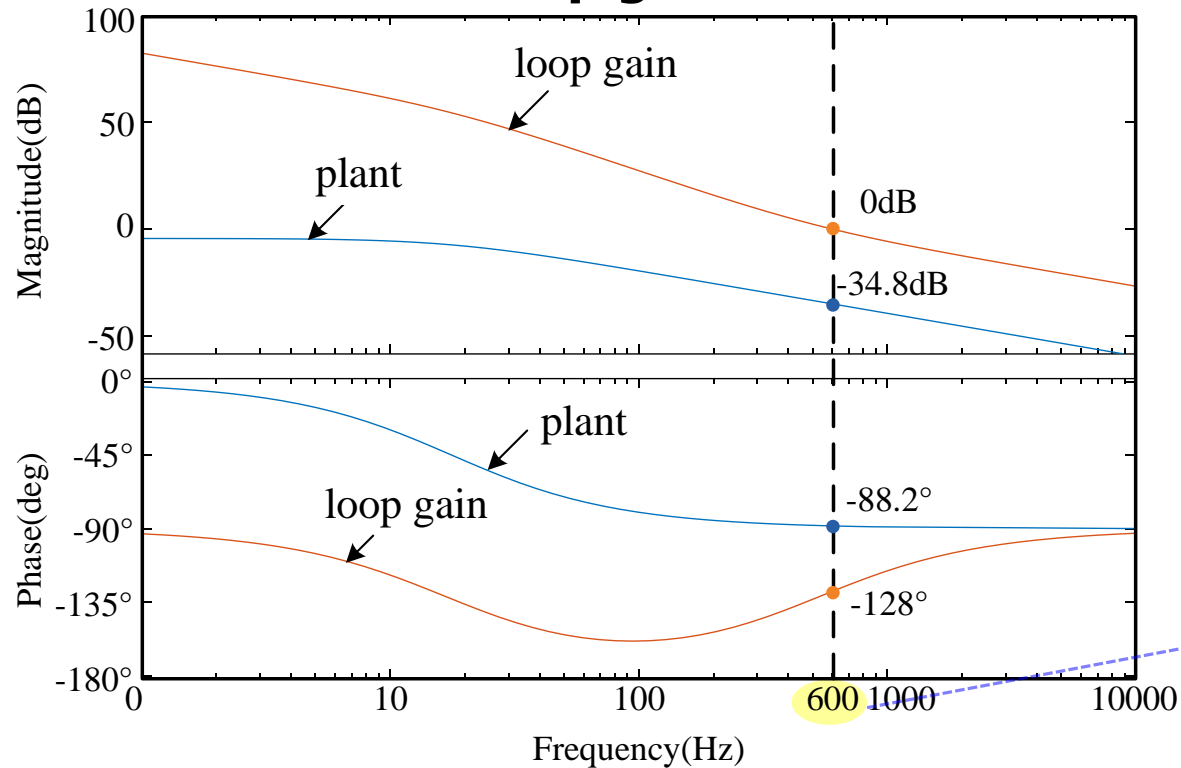
$$\phi_m = 52^\circ$$

$$G_c(s) = 42.2 + \frac{13261}{s}$$

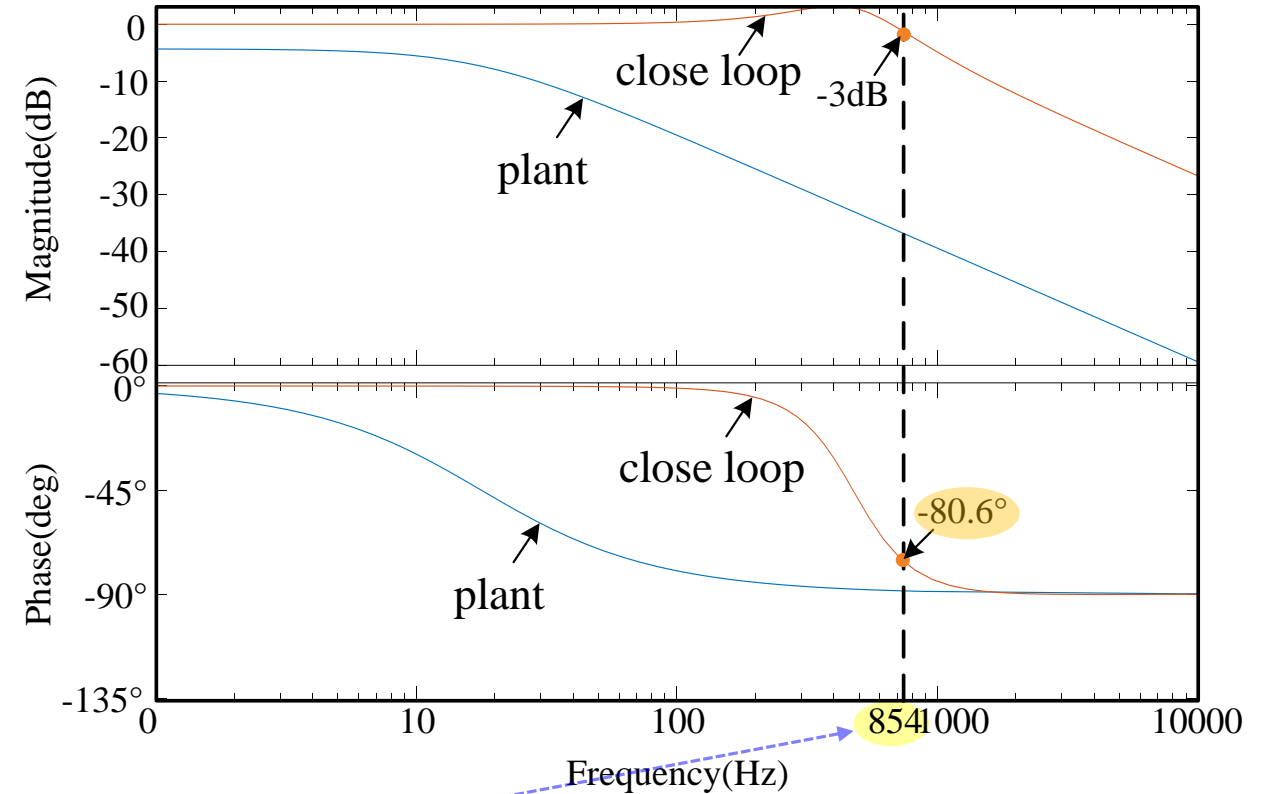
## 電流迴路之控制器設計(Simulation)



### Loop gain



### Close loop gain

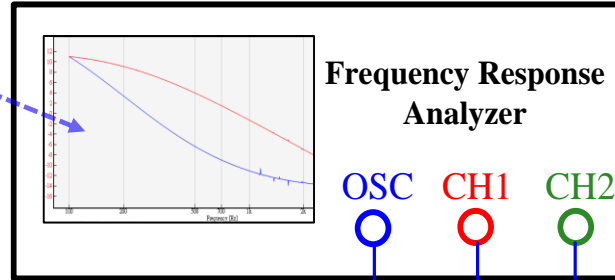


1. 控制架構
2. 電流迴路設計
3. 基於波德圖之電流迴路設計範例 - PI 補償器
- 4. 電流迴路之驗證**
5. 以示波器量測電氣功率及相關訊號
6. 結論

## 驗證設置 – 功能方塊

Bode plot

$$\frac{\Delta i_u(s)}{\Delta i_u^*(s)}$$



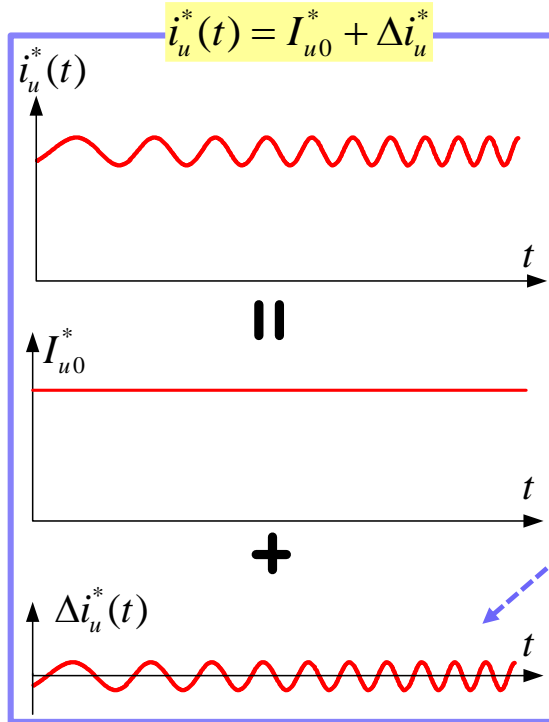
\*NF 5097 (比對用)

\*R&S RTM3004

Frequency response analysis module RTx-K36

工作點  
(軟體產生)

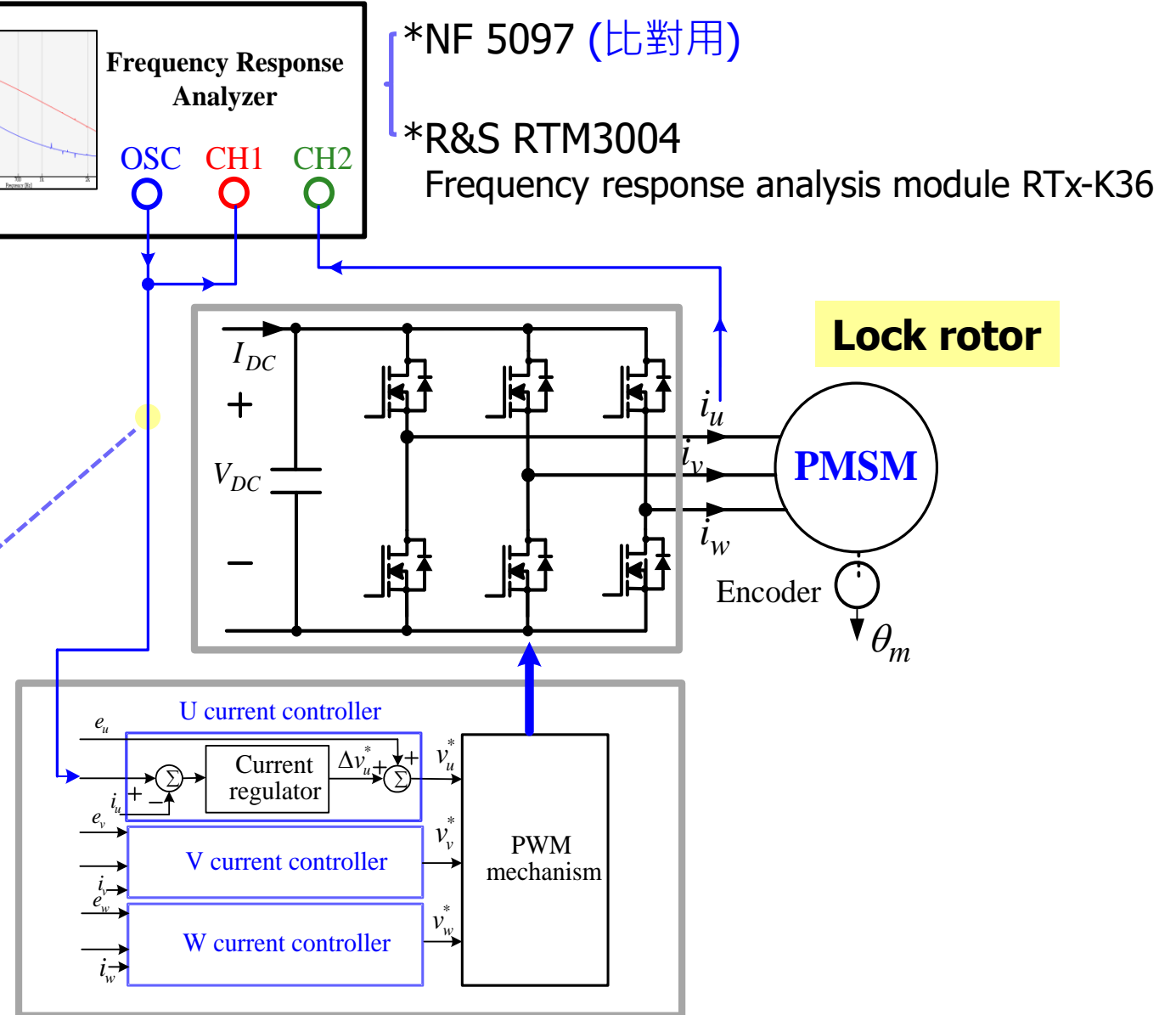
擾動命令



輸入訊號先放大，讀入MCU後再以軟體縮小，以降低AD converter有限解析度的影響!

$$i_v^* = i_w^* = -\frac{I_{u0}^*}{2}$$

$$e_u = e_v = e_w = 0$$



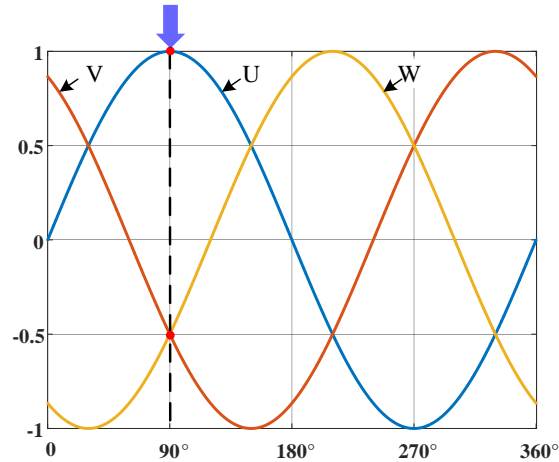


## 驗證設置 RTM3004 with RTx-K36



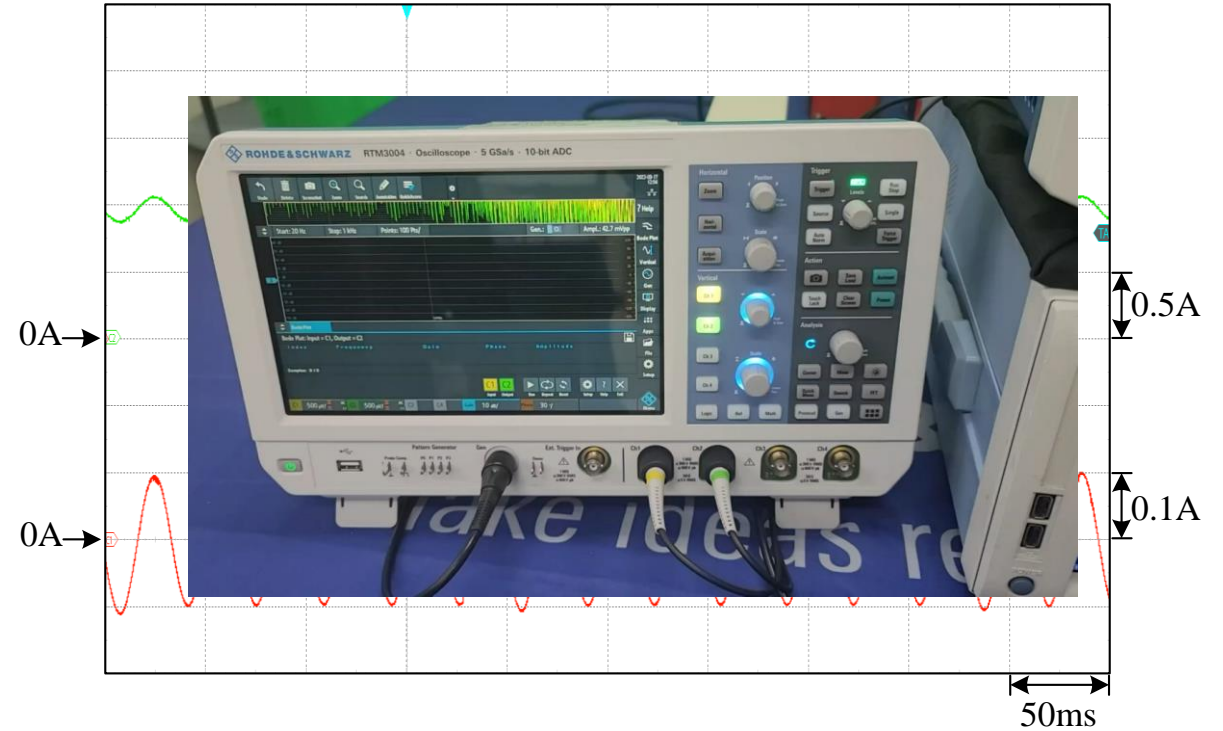
$$\Delta i_u^*(t) \quad i_u(t)$$

將轉子角度固定於90°電氣角，分別將對應電流打入



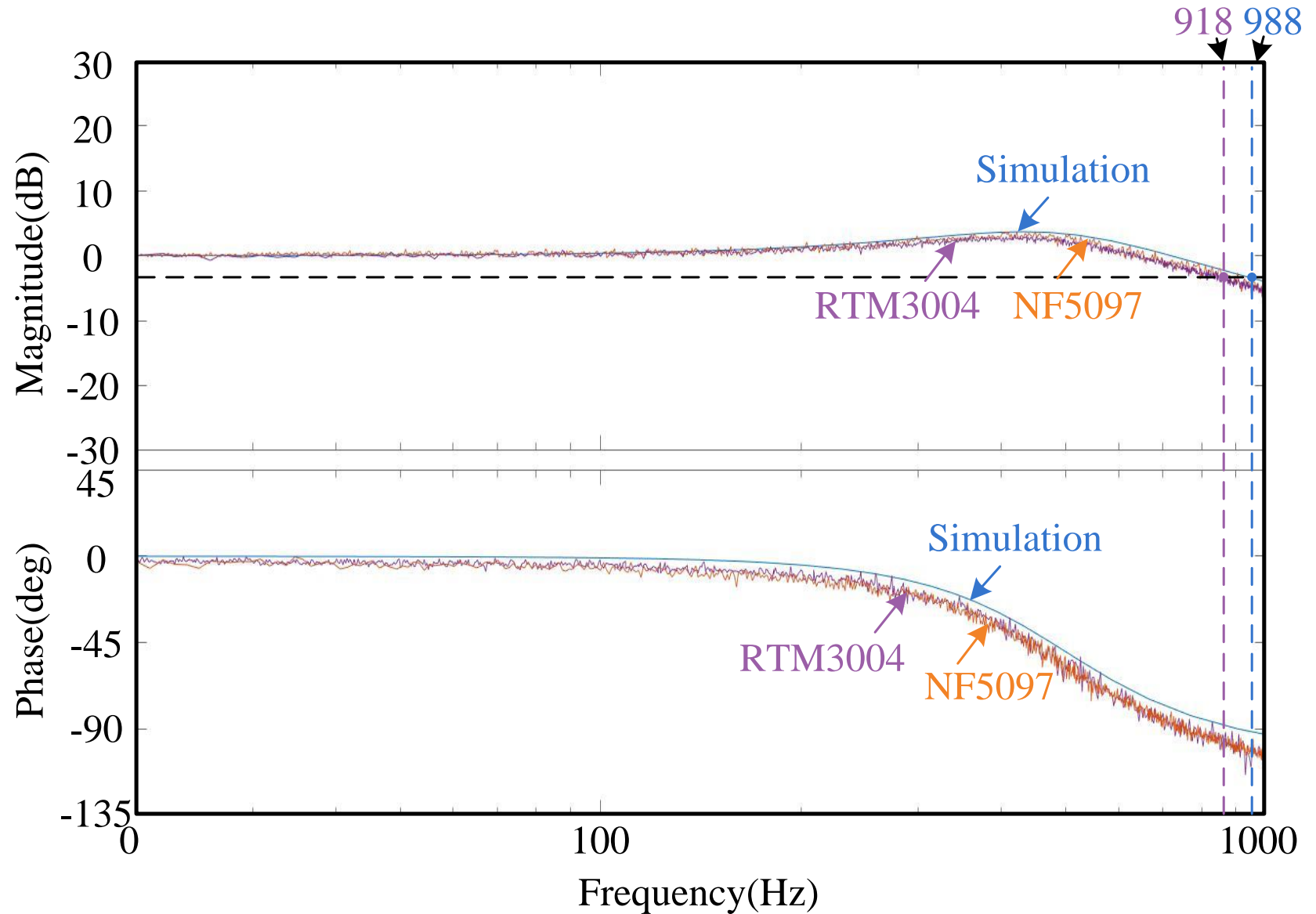
$$I_{u0}^* \quad \Delta i_u^*$$

$$i_u^*(t) = 1 + 0.1 \sin \omega t$$



## 測試結果 (RTM3004 with RTx-K36)

- ✓ Bode plot
- ✓ Step response



1. 控制架構
2. 電流迴路設計
3. 基於波德圖之電流迴路設計範例 - PI 補償器
4. 電流迴路之驗證
- 5. 以示波器量測電氣功率及相關訊號**
6. 結論

## □ 輸入馬達電氣功率

- ✓ 有效功率(Effective power, P)

$$P = 3 \times \frac{1}{T} \int_0^T v_{uN} i_u dt$$

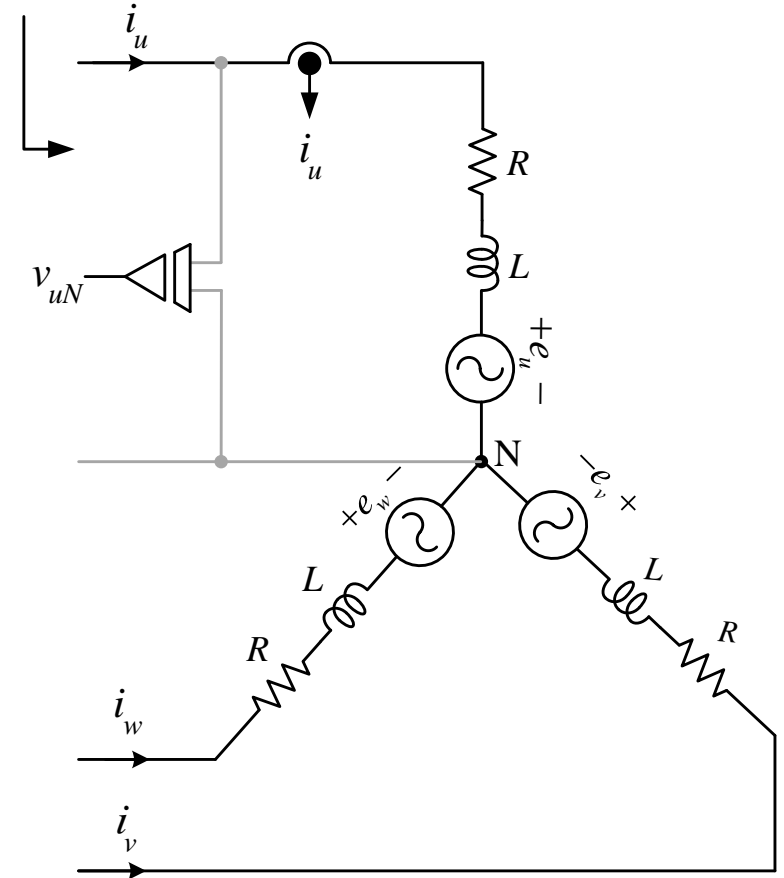
- ✓ 視在功率(Apparent power, S)

$$S = 3V_{uN,rms} I_{u,rms}$$

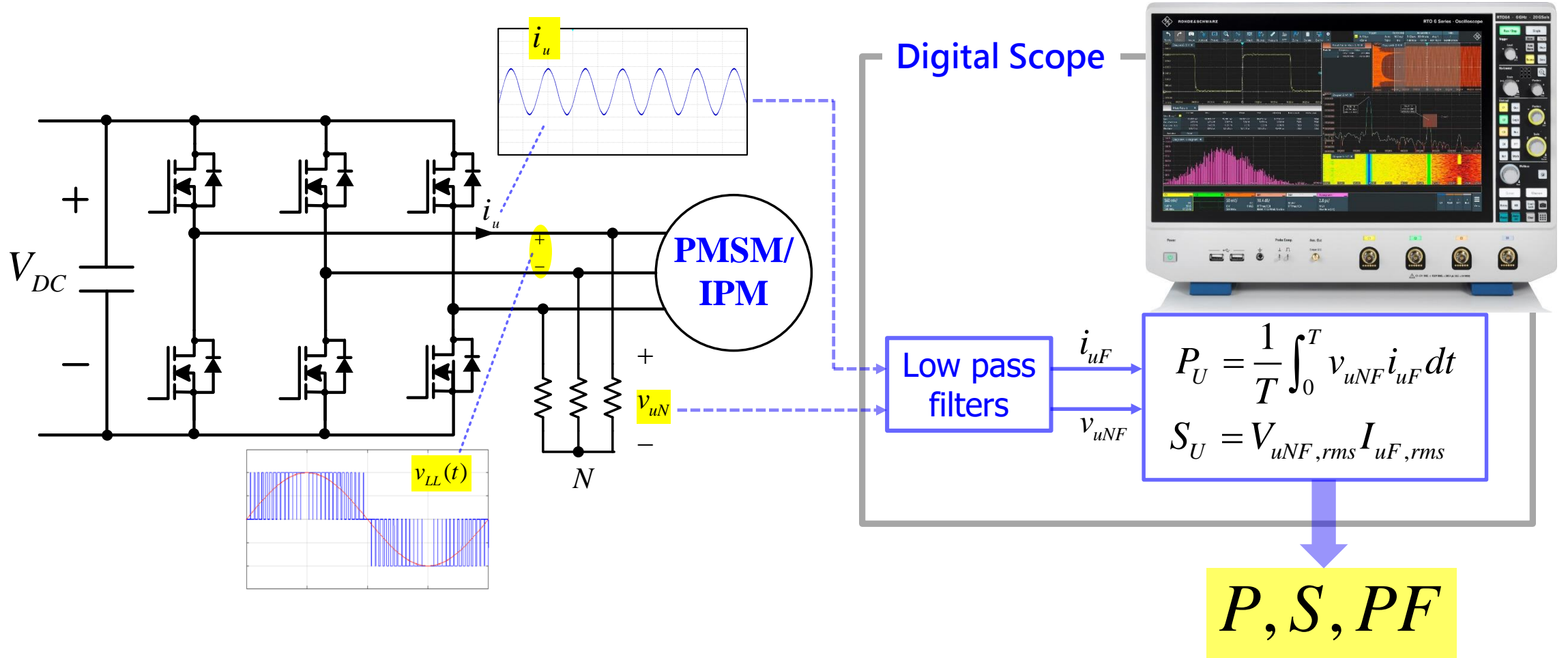
- ✓ 功率因數(Power factor)

$$PF = \frac{P}{S} = \frac{\frac{3}{T} \int_0^T v_{uN} i_u dt}{3V_{uN,rms} I_{u,rms}} = \frac{\frac{1}{T} \int_0^T v_{uN} i_u dt}{V_{uN,rms} I_{u,rms}}$$

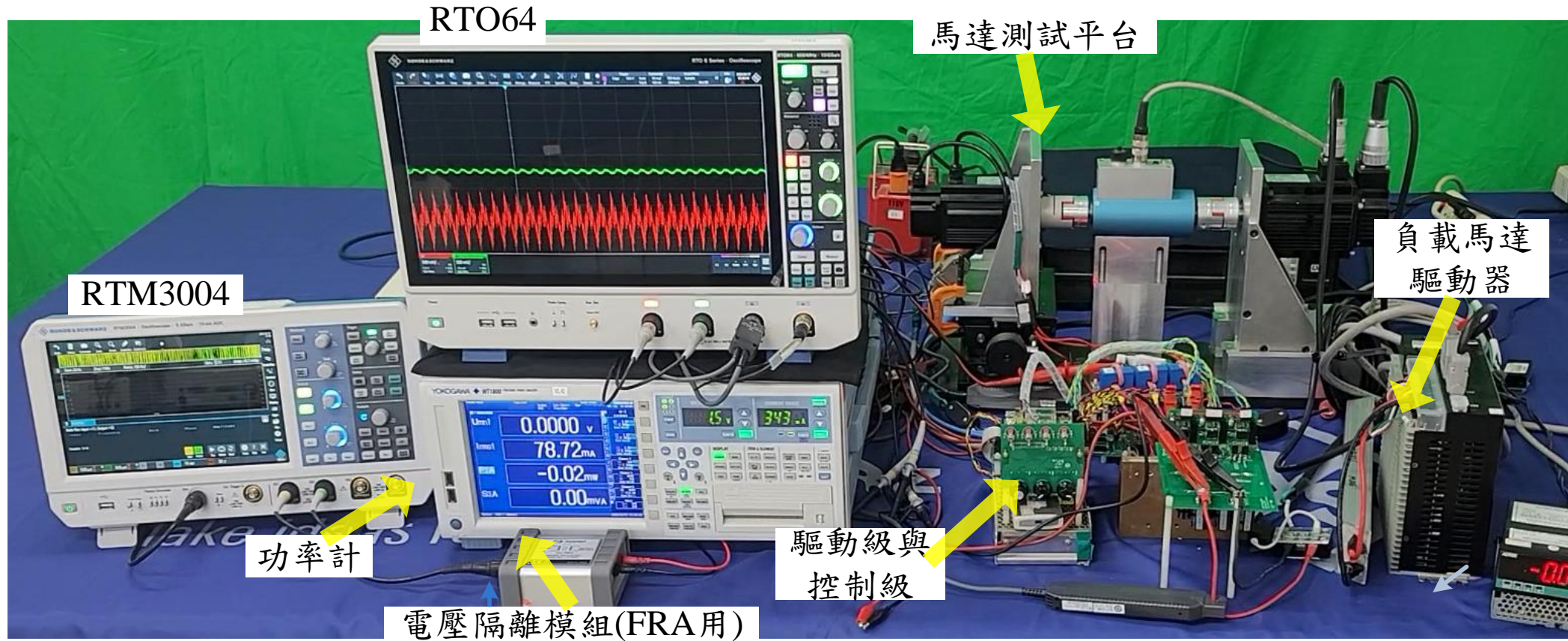
量測單相功率  
(假設馬達平衡)



## 輸入馬達電氣功率 - 示波器功能



## 量測設置及設備



## 加載方式

- ✓ **Torque mode** : 原動機(負載)先將待測馬達帶到預定轉速，再由待測馬達輸出轉矩；
- ✓ **Speed mode** : 由待測馬達轉到預定轉速，再由原動機(負載)進行加載。

## 量測設置及設備

### 示波器(R&S RT064)

- ✓ 600MHz ~ 6GHz bandwidth
- ✓ 1 million waveforms per second
- ✓ Sample rate up to 20 G sample/s
- ✓ 16 bits resolution (high definition mode)
- ✓ Fast Fourier transformation (FFT)

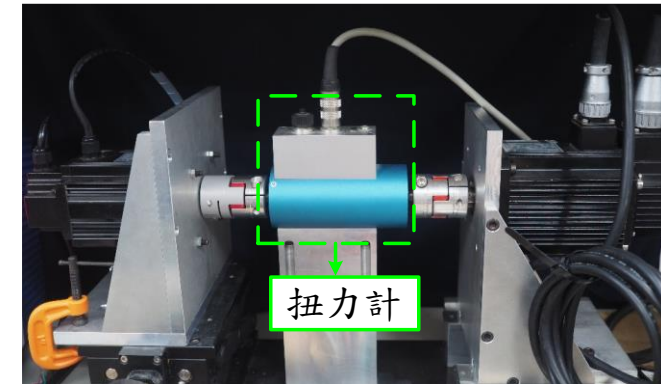


### 功率計(Yokogawa WT 1800) (比對用)



### 扭力計

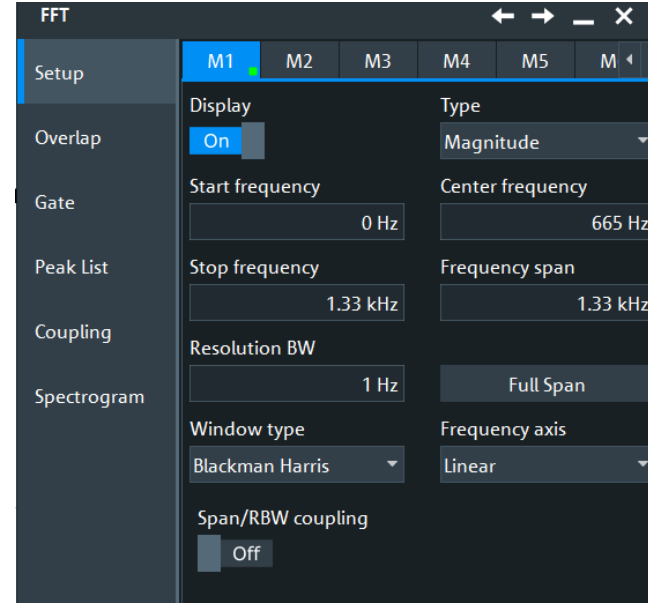
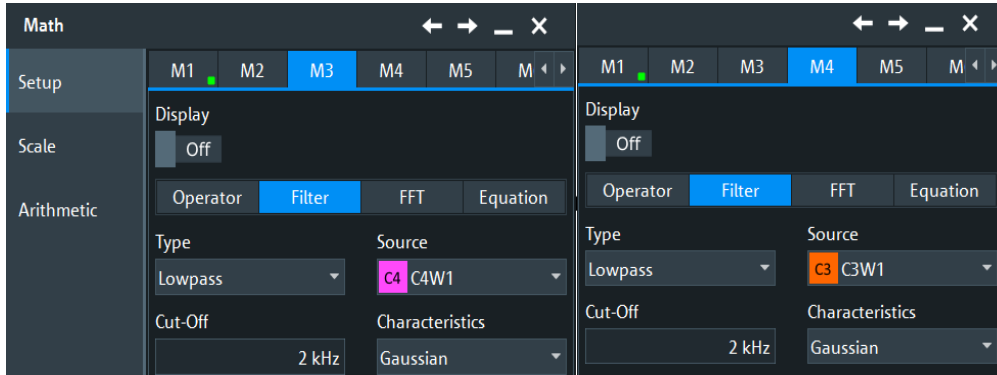
額定轉矩：10 Nm  
額定轉速：20000 rpm



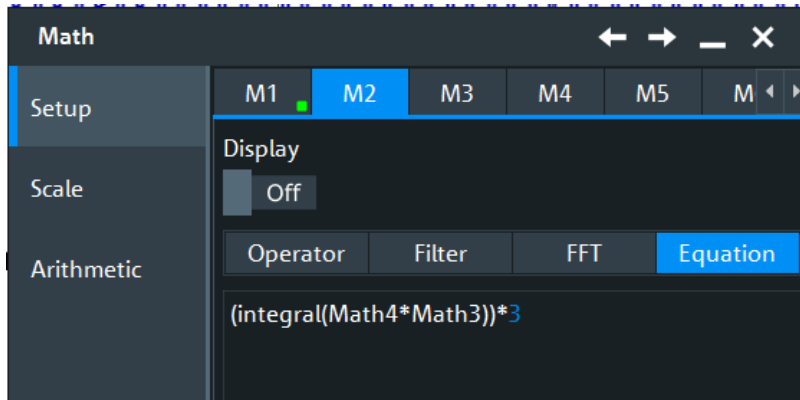
## 量測設置及設備 - 示波器設定

## 快速傅立葉轉換設置

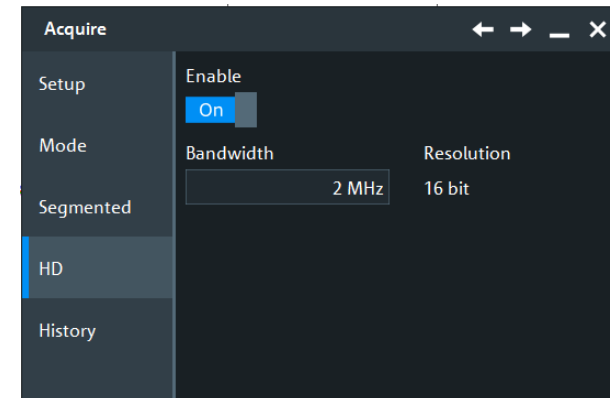
### 低通濾波器設置 (2 kHz)



### 功率量測公式



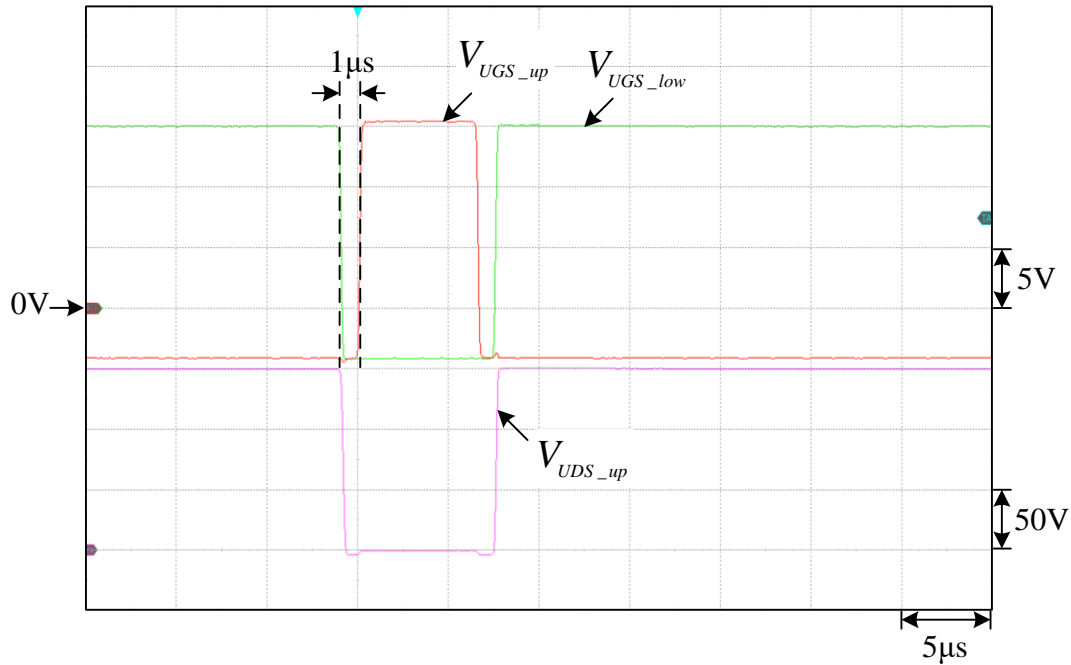
### HD 模式(高解析度)





## 量測結果 – 功率晶體 dead time

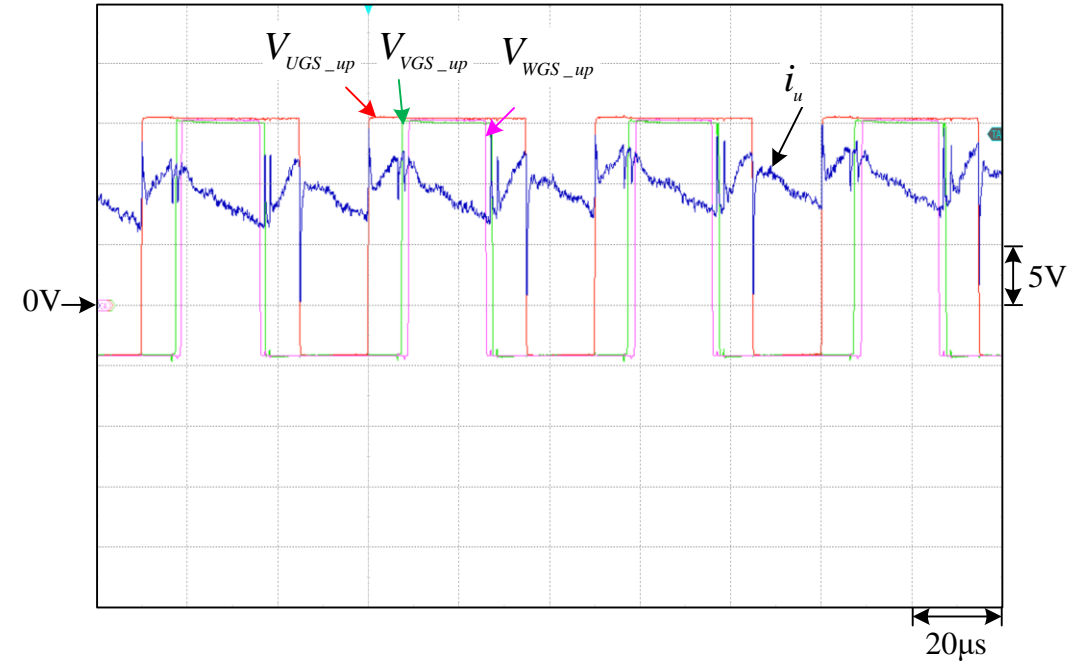
### 馬達U相開關



$$t_{\text{dead time}} = 1\mu\text{s}$$

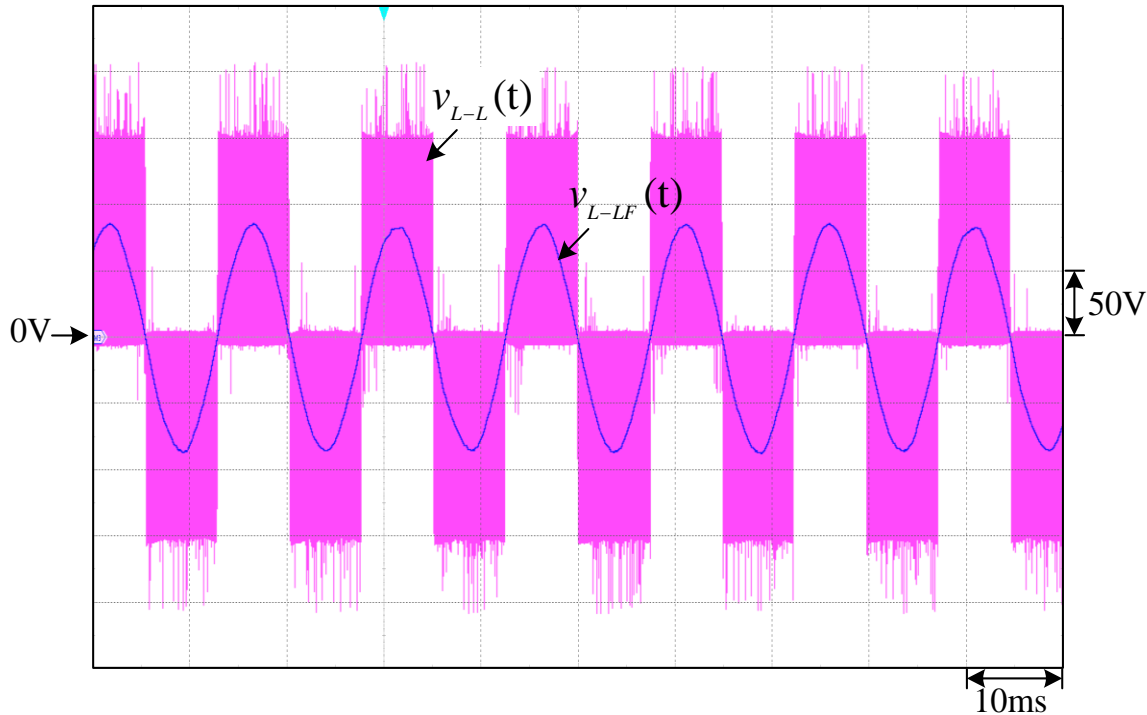
### 開關造成的電流漣波

在開關切換時會造成線電流上出現電流漣波



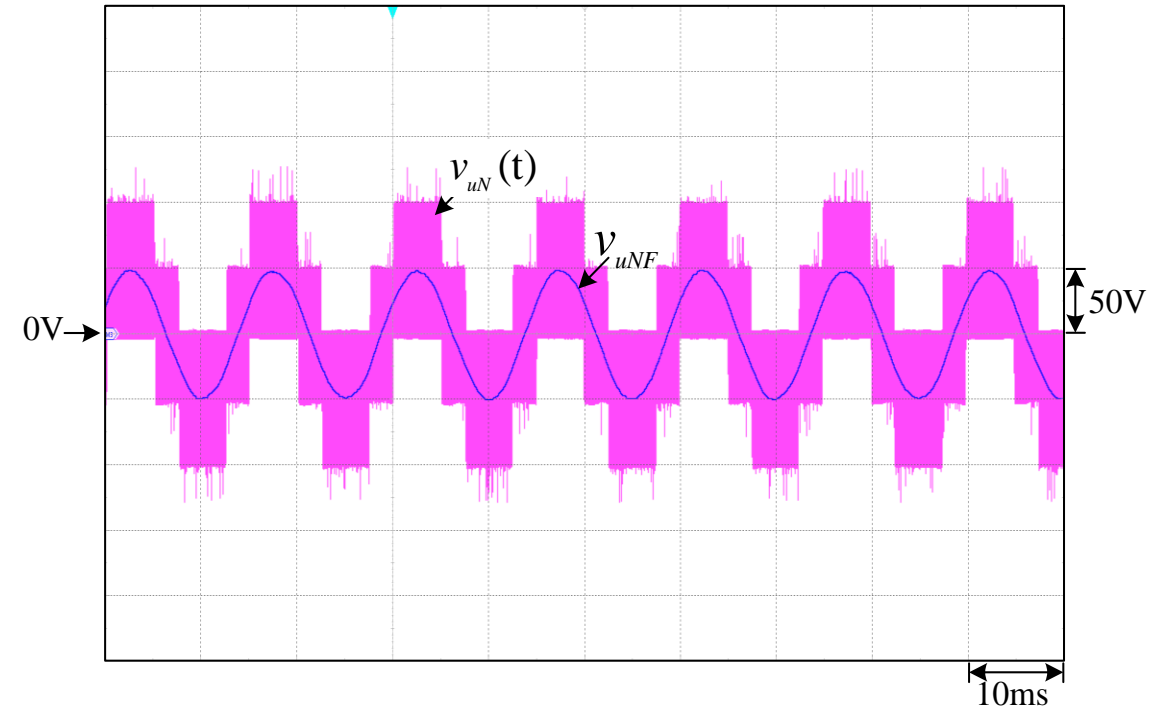
## 測試結果 – SPWM調變下之馬達線/相電壓(@0.5Nm,1000rpm)

### ➤ 馬達線電壓



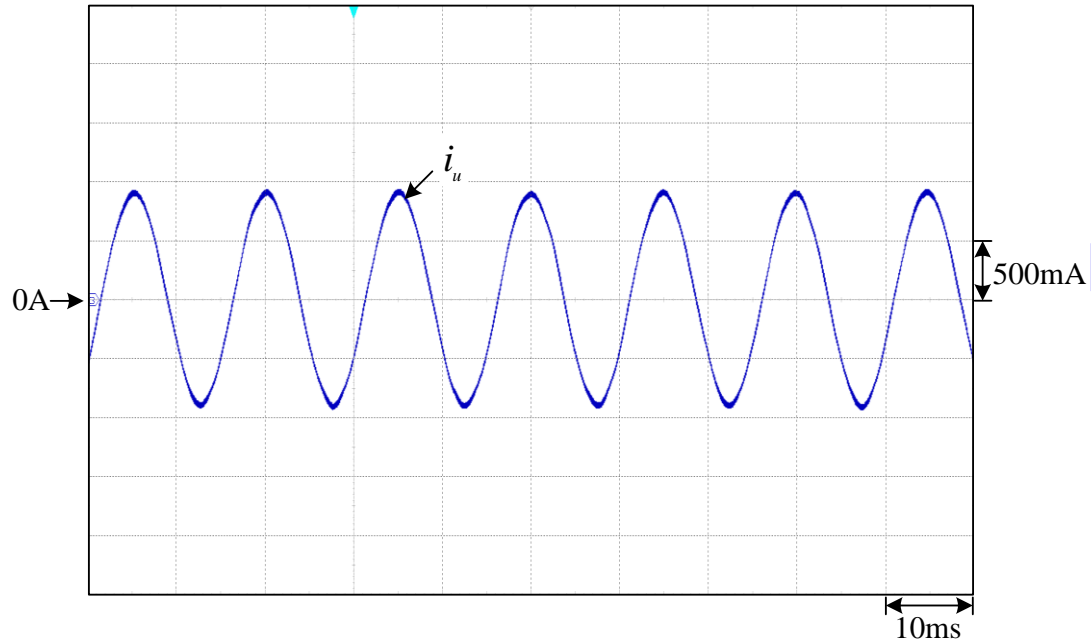
$$v_{L-LF,p} = 85.4V$$

### ➤ 馬達相電壓

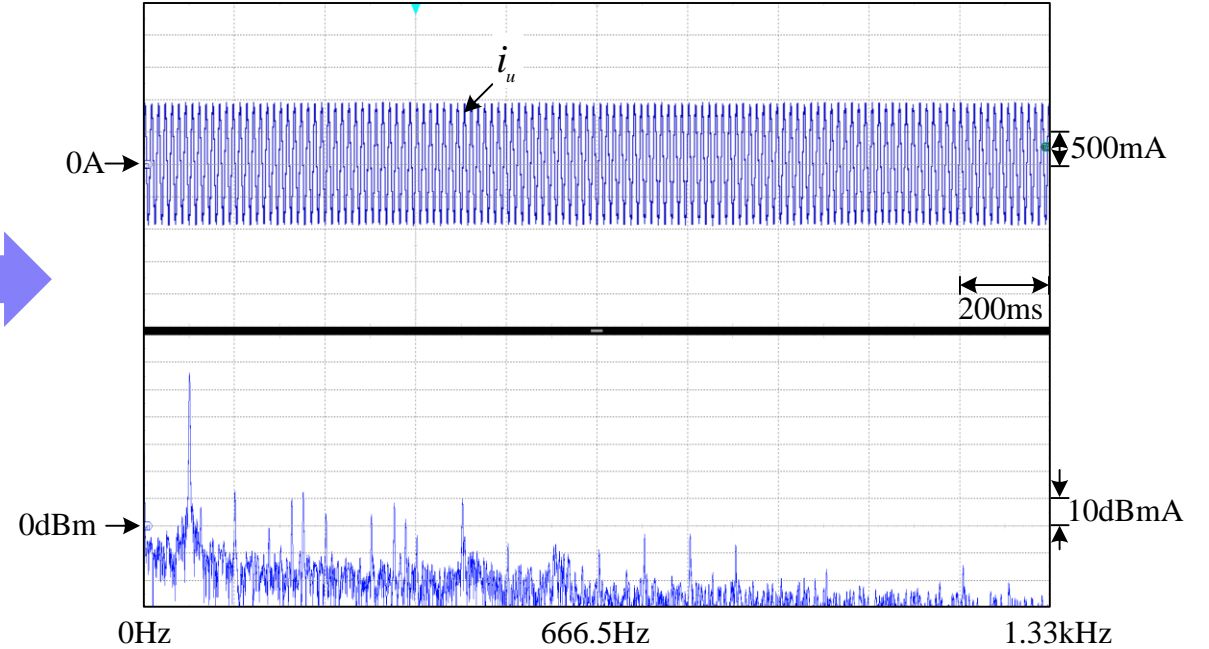


$$v_{uNF,p} = 48.9V$$

## 測試結果 – 電流諧波(@0.5Nm,1000rpm)



FFT



示波器**FFT**設定

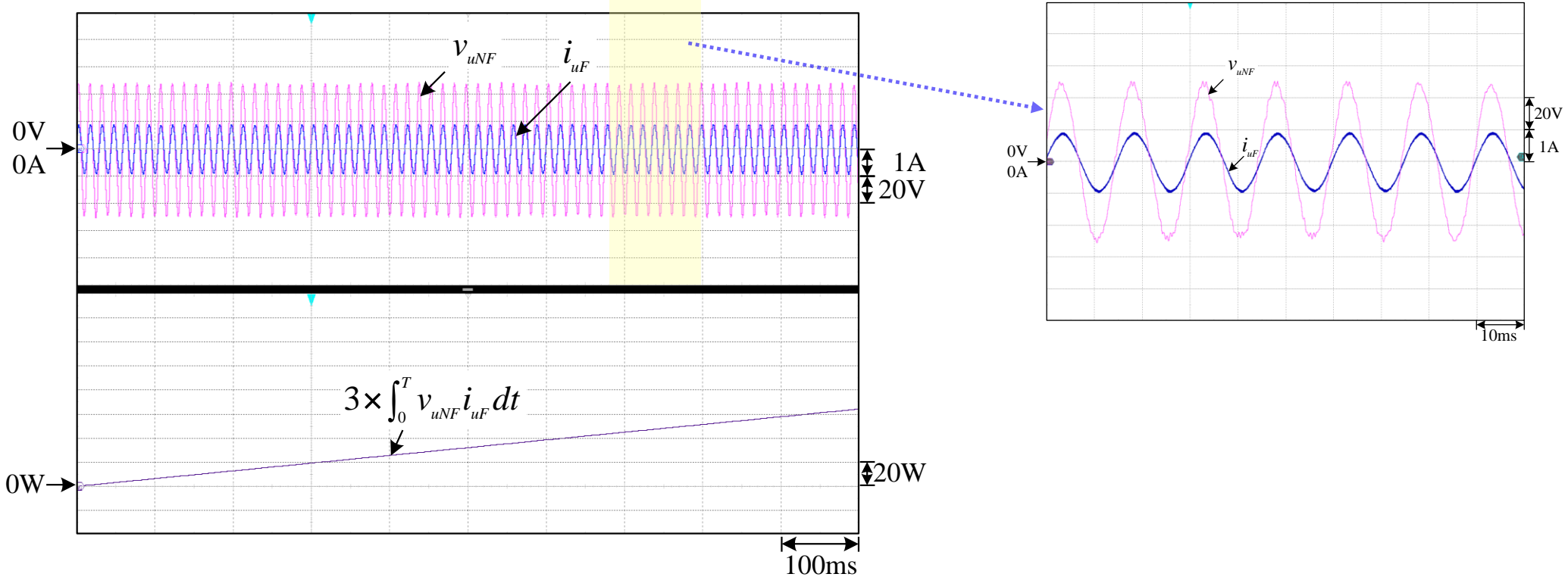
Resolution=1Hz

Frequency=0~1.33kHz

Window type : Blackman Harris

倍率	頻率(Hz)	大小(dBmA)
1	66.8	56.0
2	133.6	12.6
5	334.1	4.2
7	467.7	10.0
THD <sub>i</sub>	0.01%	

## 測試結果 – 功率量測(@0.5Nm,1000rpm)



示波器R&S RT064量測值

$$P = 3 \times \frac{1}{T} \int_0^T v_{uNF} i_{uF} dt = 63.04W$$

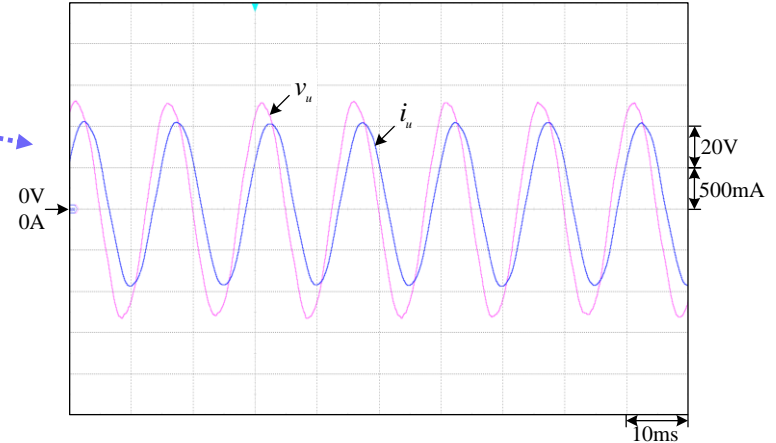
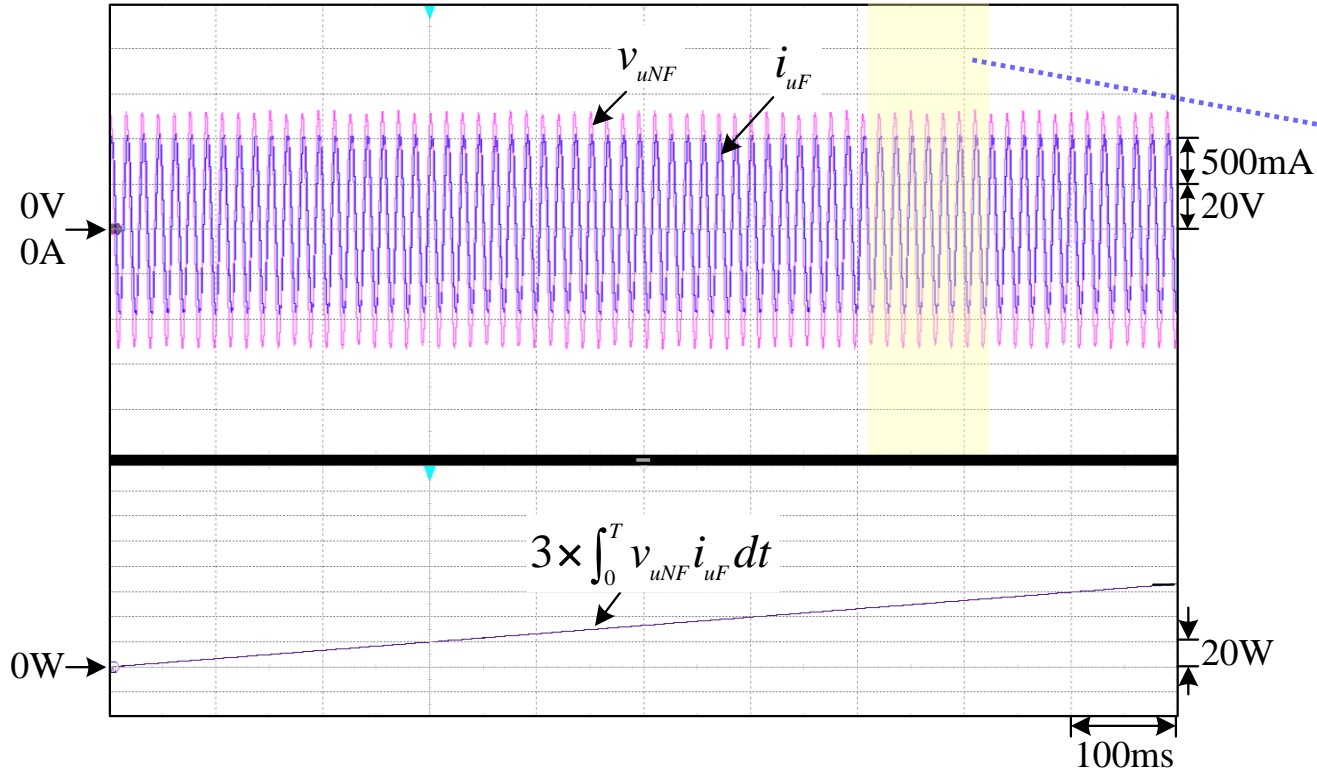
$$S = 3V_{uNF,rms} I_{uF,rms} = 65.18VA$$

$$PF = \frac{P}{S} = 0.97$$

Power meter (WT1800)量測值



## 測試結果 – 功率量測(@0.5Nm,1000rpm)



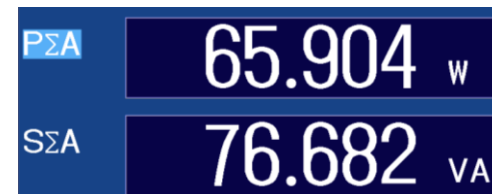
示波器R&S RTO64量測值

$$P = 3 \times \frac{1}{T} \int_0^T v_{uNF} i_{uF} dt = 64.60W$$

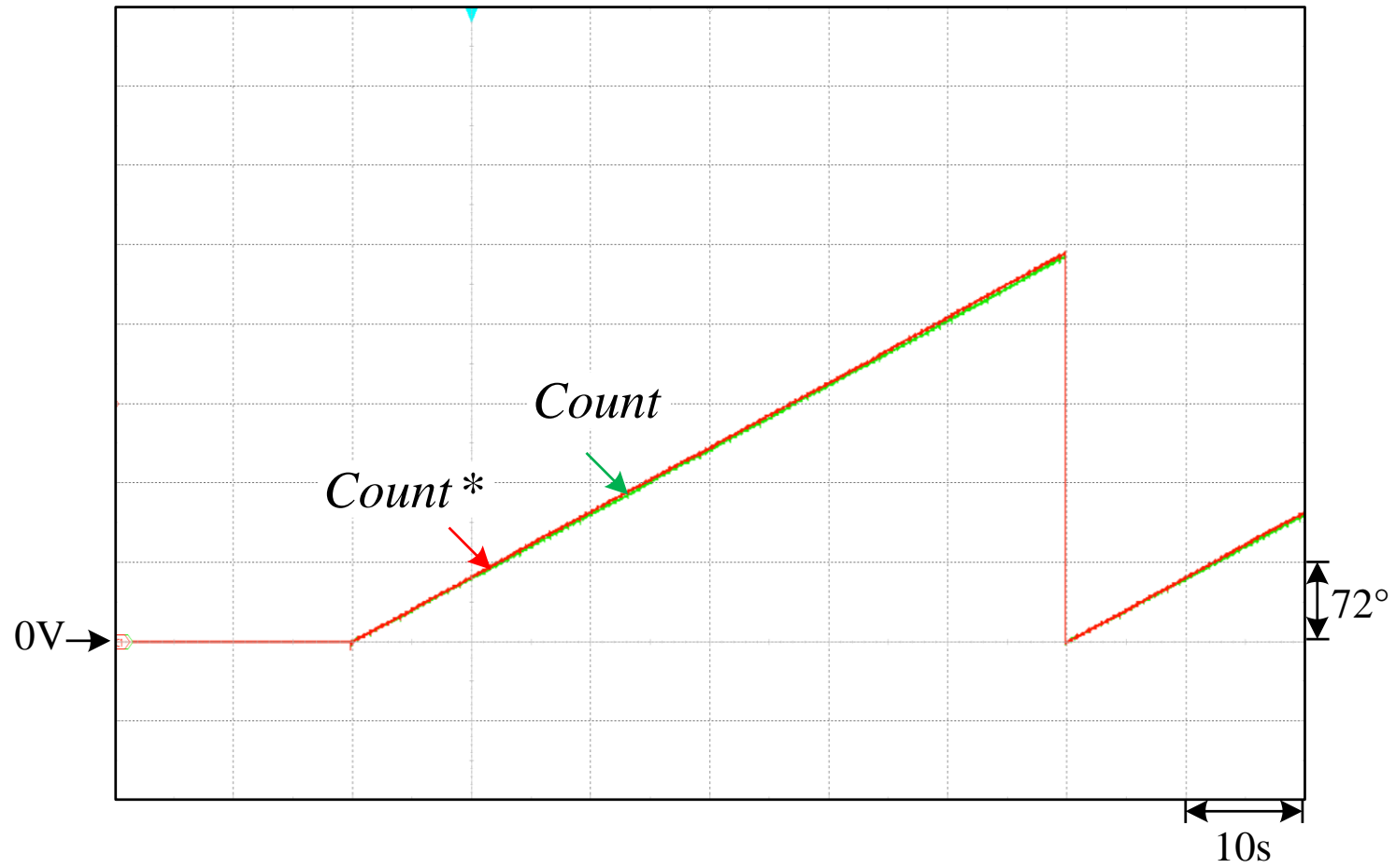
$$S = 3V_{uNF,rms} I_{uF,rms} = 78.0VA$$

$$PF = \frac{P}{S} = 0.83$$

Power meter (WT1800)量測值



## □ 測試結果 – 1 rpm @ 無載



1. 控制架構
2. 電流迴路設計
3. 基於波德圖之電流迴路設計範例 - PI 補償器
4. 電流迴路之驗證
5. 以示波器量測電氣功率及相關訊號
- 6. 結論**

- 馬達輸出轉矩特性與輸入馬達電流關係密確，在中低轉速下良好的電流響應可提較佳的轉矩輸出特性；
- 經由小訊號模型及**Bode plot**的設計程序，可讓電流迴路設計更具理論基礎；**Bode plot**設計與測試結果之趨勢相當接近，可推論所提設計程序的有效性；
- 傳統的永磁同步馬達及其驅動器的功能驗證多需使用功率計及頻率響應分析儀(**Frequency response analyzer, FRA**)等高階設備；近年來數位示波器的快速演進，可在合理的前提下取得馬達輸入功率及馬達驅動系統控制迴路之頻率響應資訊作為初步設計或驗證之參考。